

## نموذج بيوميكانيكي للاعب قذف القرص

**\*أ.م.د/ إيهار صبحي فتحي شامة**

\*أستاذ مساعد بقسم التدريب وعلوم الحركة الرياضية ، كلية التربية الرياضية ، جامعة طنطا

**\*م/شيماء حسني بن عبد المنعم حسني بن**

\* مدرس بقسم مسابقات الميدان والمضمار، كلية التربية الرياضية ، جامعة طنطا

### **مقدمة ومشكلة البحث:**

التدريب الرياضي عملية تربوية نظراً لأنه يعمل على تنمية الفرد الرياضي من مختلف الجوانب البدنية والنفسية والاجتماعية والعقلية، كما يعمل على تنمية القدرة على الأداء المهاري. كما إن النجاح في أي ميدان رياضي عادة ما يكون نتاج التخطيط السليم والعمل الصعب الجاد والالتزام به لتحقيق الأهداف والتدريب الرياضي لا يخرج عن هذه القاعدة. (١٣: ١٧٥)

ويذكر صدقى سلام (٢٠١٤) أن التطور السريع الذي شهدته مستويات الإنجاز في معظم مسابقات ألعاب القوى عامة والرمي خاصة لم يكن وليدة الصدفة، وإنما نتيجة للاستخدام المثالى للتكنولوجيا والأجهزة المخبرية في دراسة دقائق أجزاء الحركة، والذي أدى إلى تطور مستويات الأداء الحركي والفنى للرامي من خلال الاستغلال والاستثمار الأمثل للقوى الذاتية للرامي في مسابقات الرمي بألعاب القوى لتغلب على المقاومات الخارجية المؤثرة في الأداء ولصالح الإنجاز.

(٨: ٣٢)

وتوضح دراسة يو، وآخرون. Yu, et. al (٢٠٠٢) (٣٤) أن الهدف الرئيسي لمسابقة قذف القرص يتمثل في إنجاز الرامي لتحقيق أكبر مسافة ممكنه. ووفقاً للمتغيرات البيوميكانية فإن تكتيك قذف القرص يتحدد من خلال (٧) مراحل متزامنة (مسك وحمل الأداة وقفه الاستعداد - المرجة التمهيدية - الدوران - وضع الرمي - الرمي - الاتزان) وكل مرحلة أهمية لتحقيق الناتج

الحركي ويعد التحليل البيوميكانيكي وسيلة هامة لإمداد وتنويع المدربين والباحثين بمعلومات الناتج الحركي لتحسين مستوى الأداء بالمسابقة.

وتشير دراسة لي وآخرون Leigh, et. al (٢٠٠٨) أنه لتحقيق ابعد مسافة يتم الاعتماد على القواعد الميكانيكية الآتية (ارتفاع نقطة التخلص - زاوية انطلاق الأداة - سرعة الانطلاق) ولهذا فإن فاعلية تكنيك قذف القرص تعتمد على تحليل المتميزين لتوضيح الأساليب الفردية للحصول على أعلى مستوى للأداء. كما توضح دراسة لي وآخرون Leigh, et. al (٢٠١٠) أنه لا يوجد اتفاق عام للباحثين والمدربين على إسهام ومشاركة كل مرحلة من مراحل قذف القرص، والتي تساعدهم لإصلاح أخطاء التكنيك أثناء الأداء لذا يستطيع التحليل الحركي لقذف القرص أن يكون مفيداً وفعالاً لتحديد المتغيرات المميزة لكل مرحلة من مراحل الأداء.

ويتفق كلا من اليكسك فيلjkovic وآخرون Aleksic Veljkovic et al (٢٠١١)، مارلين لويز كولمان Marilyn Louise Colman (٢٠٠٥) أن التحليل الحركي هو السبيل الأقرب لتحقيق أهداف التدريب في أقصر زمن وأقل جهد وتكليف وفهم حركة الرياضي بدقة، ويتاح للمدرب معرفة نقاط القوة والضعف للاعبين وإرشاده إلى إعداد برامج تدريبية مبنية على أساس علمية.

ويذكر عصام أبو جميل (٢٠١٥) أنه لتحقيق فهم أعمق لفعاليات الرمي لابد من تجزئتها إلى عناصرها الأساسية المكونة لها والبحث في هذه العناصر بشكل منفرد وذلك بهدف الحصول على انساب المسارات الحركية لتحسين التكنيك المرتبط بالمتغيرات البيوميكانيكية الأساسية كعزم القصور الذاتي، وكمية الحركة المتحققة للجسم أثناء الحركة، والقوة والسرعة. ويرى عادل عبد البصير وإيهاب عبد البصير (٢٠٠٧). أن الإنجاز في مسابقات الرمي يعتمد أيضاً على التكنيك الصحيح، وقيم المتغيرات البيوميكانيكية، حيث تشير دراسة تيسانوفيك Tešanović (٢٠١٠) إلى أن هناك ارتباطاً ذات دلالة إحصائية بين مسافة الإنجاز في مسابقات الدفع وكتلة الجسم وطول الزراع التي تقوم بالرمي. (٦٥:١١)، (٦٥:١٣)، (٣٢)

بناء على ما تقدم ترى الباحثة أن مسابقات الرمي تتصرف بالخصوصية الفردية والاعتماد على القدرات الذاتية ومنها المستوى الرقمي، وهنا يأتي دور على البيوميكانيك في كيفية توظيف واستثمار هذه القياسات بما يخدم الواجب الحركي، لأن المدرب مهما بلغت خبرته التدريبية وحصيلته

المعرفية لن يستطيع أن يعد بطلاً. ومن خلال ما تقدم ترى الباحثة أن ما توصلت إليه من نتائج خاصة بالنموذج البيوميكانيكي الإحصائي في مسابقات الرمي وذلك كدراسة ويرى كلا من آية خليفة (٢٠٢١) (٣)، ميدا وأخرون Maeda et. al., (٢٠١٨) (٢٨)، مدحت سالم (٢٠١٨) (١٥)، خالد عطيات وأخرون (٢٠١٨) (٦)، أسامة عبدالفتاح (٢٠١٤) (٢)، غلازير، وروبنز، Nemtsev (٢٠١٢) (٢٣)، نيمتسيف (٢٠١١) (٣)، معتز العريان (٢٠١٠) (١٦)، طارق علاء الدين (٢٠٠٥) (١٠) أن بناء نموذج بيوميكانيكي لأداء اللاعب من أحدث الإنجازات التي يسعى إليها الباحثون في مجال البيوميكانيك في المجال الرياضي حيث يصف متخصصي البيوميكانيك النموذج على أنه عبارة عن مجموعة من المعادلات الرياضية الراقية والتي يمكن من خلالها محاكاة أداء اللاعب وكذلك التنبؤ بتأثر تغير قيم أي متغير من المتغيرات البيوميكانية للأداء على المتغيرات الأخرى، ومن خلال هذه النماذج يتم تحديد المتغيرات البيوميكانية التي تؤثر في الأداء، ثم معالجتها إحصائياً لتحديد مدى ارتباطها بالأداء وبعضها البعض. وفي هذا الصدد تشير دراسة غلازير، وروبنز، Glazier, & Robins, (٢٠١٢) (٢٣) أن دور تصميم النماذج في المجال الرياضي يساعد على تحديد العلاقات بين العوامل البيوميكانية المؤثرة في الإنجاز، وتوفير الأساس النظري الضروري لدراسة الأهمية النسبية للمتغيرات المؤثرة على نتائج المهمة الحركية، والمساعدة في تخطيط التدريب الرياضي، فهذه العوامل تمكن المدربين من التركيز على المتغيرات البيوميكانية المهمة التي تؤثر بشكل كبير في مسافة الإنجاز، واختيار هذه المتغيرات بطريقة موضوعية بعيداً عن العشوائية، ويقلل من استخدام التجربة والخطأ في تصميم البرامج التدريبية.

ومما تقدم تسعى الباحثة إلى إجراء دراسة علمية لتقديم نموذج لمعادلات احصائية للتنبؤ بمسافة الإنجاز من خلال التحليل الحركي لمرحلة الرمي في مسابقة قذف القرص لاستكشاف أفضل النماذج البيوميكانية التي تساهم في زيادة مسافة الإنجاز لقذف القرص، بالاعتماد على قيم المتغيرات البيوميكانية لتقديم بيانات بأشكال رقمية لتعزيز الجانب الموضوعي للتحليل البيوميكانيكي بما يخدم تخطيط التدريب الرياضي للاعب قذف القرص وفق المتغيرات البيوميكانية، لتوفير الوقت والجهد والمال، بإيجاد معادلات تتباين بمسافة الإنجاز في قذف القرص، معتمدة على قيم المتغيرات البيوميكانية ومن هنا تبلورت المشكلة والتي تمثلت في غياب

مثل هذه الدراسات المتخصصة في مسابقة قذف القرص وبالتالي مساعدة المدربين واللاعبين في التعرف على أهم المتغيرات البيوميكانيكية الأكثر مساهمة في إمكانية التنبؤ بمسافة الإنجاز . بما قد يسهم إيجابا في تطوير عملية التدريب و اختيار النشاء و تقويم الأداء بطريقة موضوعية. من خلال وضع نموذج بيوميكانيكي إحصائي لأداء لاعبي قذف القرص.

**هدف البحث:**

تهدف الدراسة إلى التعرف على النموذج البيوميكانيكي لتتبؤ بأحسن مستوى رقمي لأداء للاعب قذف القرص استنادا على المتغيرات البيوميكانيكية لمرحلة الرمي من خلال (مسافة رمي القرص خلال لحظة العصر - الزاوية ومسافة رمي القرص خلال لحظة العصر - مسافة الرمي خلال لحظة الرمي - الزاوية ومسافة الرمي خلال لحظة الرمي).

**فرض البحث:**

يمكن التوصل إلى نموذج إحصائي للمتغيرات البيوميكانيكية المساهمة في التنبؤ بمستوى أداء لمنتسابقي قذف القرص بدلالة:

١. مسافة رمي القرص خلال لحظة العصر
٢. الزاوية ومسافة رمي القرص خلال لحظة العصر
٣. مسافة الرمي خلال لحظة الرمي
٤. الزاوية ومسافة الرمي خلال لحظة الرمي

**إجراءات البحث:**

**منهج البحث:**

استخدمت الباحثة المنهج الوصفي بالأسلوب المسحي باستخدام التصوير بالفيديو والتحليل الكينماتوجرافي.

**عينة البحث:**

قامت الباحثة باختيار عينة البحث بالطريقة العدمية من (٣) لاعبين في مسابقة قذف القرص والمقيدين بالاتحاد المصري لأنماط القوى خلال الموسم الرياضي ٢٠٢٠/٢٠١٩ ، ويقوم كل لاعب بأداء (٤) محاولات ليصبح إجمالي المحاولات عدد (١٢) محاولة وسوف تختار الباحثة

أفضل (٣) محاولات لكل لاعب ليصبح عدد المحاولات (٩) محاولات. وقد تم اختيارهم وفقاً

للتالي:

- ١ - تميز متسابقي عينة البحث باعتبارهم أفضل المستويات على مستوى الجمهورية.
  - ٢ - انتظام عينة البحث في التدريب والمشاركة المنتظمة في بطولات الجمهورية للدرجة الأولى.
- تم حساب معامل الالتواء للتأكد من توزيع بيانات العينة اعتداليا في المتغيرات قيد البحث، كما هو موضح بجدول (١)

**جدول (١)**

#### **التوصيف الاحصائي لمتغيرات النمو لعينة قيد البحث**

معامل الالتواء	الوسيط	الانحراف المعياري	المتوسط الحسابي	المتغيرات المختارة
١.٤١-	٢٦٣	٤.٩٣	٢٦٠.٦٧	السن
٠.٢٣	١.٩١	٠.١٣	١.٩٢ متر	الطول
١.٢٩-	١٤٠	٢.٠٨	١٣٩.٣٣ كجم	الوزن
٠.٩٥٨	٣٧.٥٥	٠.٩٧	٣٧.٨٦ كجم / متر	كتلة الجسم

يتضح من جدول (١) أن قيم معاملات الالتواء لقياسات المتغيرات قيد البحث تحصر ما بين ( $\pm 3$ ) مما يشير إلى اعتدالية توزيع عينة البحث في تلك المتغيرات، وبالتالي يوجد اعتدالية في توزيع عينة البحث في تلك المتغيرات.

#### **وسائل وأدوات جمع البيانات:**

لضمان دقة قياسات البحث، استخدمت الباحثة وسائل وأدوات جمع البيانات التالية:

- ١- التصوير بالفيديو والتحليل الحركي الكيناتوجرافي باستخدام برنامج (برنامج تحليل حركي Sim-Motion v 7,٥).
- ٢- مقياس رسم رباعي أبعاده  $1 \times 1$  متر.
- ٣- سريمات لترامن الكاميرات.
- ٤- أسلاك كهربائية لتوصيل مصدر الكهرباء.
- ٥- شريط لاصق لتحديد نقاط ومفاصل الجسم.
- ٦- شريط قياس بالметр.
- ٧- ميزان طبي معاير لقياس الوزن.
- ٨- ميدان للرمي قانوني.
- ٩- عدد ٣ قرص قانوني.
- ١٠- جير، شريط قياس.
- ١١- استماراة تسجيل اللاعبين، ومسافة الرمي.

**الدراسة الاستطلاعية:**

قامت الباحثة بإجراء الدراسة الاستطلاعية للتعرف على عينة البحث الأساسية والتي ستطبق عليها إجراءات الدراسة الحالية وتحديد أهم مرحلة من مراحل الأداء والتي انفقت عليها الدراسات العلمية ميدا وآخرون et. al Maeda et. al Leigh (٢٠١٨)، لي وآخرون Yu et. al (٢٠٠٢)، (٢٠١٠)، (٢٠١٧)، (٢٠٠٨)، (٢٠٠٦)، (٢٠٠٤) وعرضها على الخبراء وتحديد أكثر اللحظات الزمنية أهمية في مراحل الأداء الحركي لهدف القرص قيد البحث والتي تم تحديدها والتركيز عليها لدراستها في الدراسة الحالية. ومكان وضع الكاميرات وبعدها وارتفاعاتها عن مجال الأداء الحركي لمهارة قذف القرص قيد البحث. والتأكد من صلاحية أماكن التصوير والتيار الكهربائي وطبيعة تواجد منطقة الرمي الذي يقام عليه الدراسة، ومراعاة اتجاه ضوء الشمس حتى لا يتعارض مع عملية التصوير. وتوصلت الباحثة من خلال الدراسة الاستطلاعية إلى النتائج التالية:

١- موافقة الخبراء بنسبة ١٠٠٪ على اختيار مرحلة الرمي وأن أكثر اللحظات الزمنية أهمية في مراحل الأداء الحركي لهدف القرص هي متغيرات (مسافة الرمي - لحظة العصر - المتغيرات الزاوية - لحظة الرمي)

٢- الاعداد المناسب لمكان التصوير والكاميرا بالإضافة إلى:  
- وضع الكاميرا الأولى عمودية

- التأكد من عدم وجود أي انحرافات أو تغير في مستوى كاميرات التصوير.
- التأكد من أن بؤرة العدسة (مجال الصورة) يحتوي المجال الكلي للحركة.
- تم التأكد من وضع الكاميرا ومدى مناسبتها لمكان التصوير بالنسبة لمجال المهارة حيث كانت عمودية على مجال الحركة.

**الدراسة الأساسية:**

بعد أن حققت الدراسة الاستطلاعية أهدافها وتمكنت الباحثة من معرفة المشكلات التي من الممكن أن تواجهها وتعترضها، وأمكنها التغلب عليها في حدود الامكانيات المتاحة، قامت الباحثة بإجراء الدراسة الأساسية لتصوير محاولات اللاعبين بكلية التربية الرياضية جامعة طنطا، يوم ١١/٨/٢٠٢٠م، واجراء التحليل بمعمل كلية التربية الرياضية للبنين جامعة الإسكندرية يوم ١٦/٨/٢٠٢٠م

لحظة الدفع



لحظة انطلاق القرص



لحظة العصر



لحظة لمس القدم اليسرى للأرض

شكل (١)

**نموذج لمراحل الأداء المهاري لقذف القرص خلال لحظة العصر والدفع**

**المعالجات الإحصائية:**

لبناء نموذج بيوميكانيكي - احصائي للاعب قذف القرص فلابد من التوصل الى معادلات تنبؤية تمكنا من الوصول الى قيمة المتغير التابع بناء على بعض المتغيرات المستقلة ذات الاسهام الجوهرى في نتيجة المتغير التابع وووجدت الباحثة ان انسب معالجة احصائية:

- المتوسط الحسابي.
- الانحراف المعياري.
- معامل الارتباط المتعدد.
- الانحدار المتعدد.

**عرض ومناقشة النتائج**

**عرض نتائج البحث**

### جدول (٢)

معاملات الارتباط الاكثر ارتباطاً بين المتغيرات الميكانيكية ومسافة

رمي القرص خلال لحظة العصر = ٩

ترتيب المؤشر	قيمة (ر)	الانحراف المعياري	المتوسط الحسابي	المؤشرات الميكانيكية لمراكز ثقل الوصلات	M
الاول	*٠٠.٨٥٤	٠٠٧	١.٤٩٦	الإزاحة الرئيسية للعضد الأيسر	١
الثاني	*٠٠.٨٠٦	٠.٢٠٩	٢.١٣٩	السرعة الرئيسية للجذع الأيمن	٢
الثالث	*٠٠.٧٧٥	١١.٧١	٩.٣٧٩-	العجلة العرضية للفخذ الأيمن	٣
الرابع	*٠٠.٧٧٤	٧.٣٣	٤.٩٠٨-	العجلة الرئيسية للساقي الأيمن	٤
الخامس	*٠٠.٧٧	٠.٤٢٨	١.٧٣٠	السرعة العرضية للفخذ الأيمن	٥
السادس	*٠٠.٧٦٧	٠.١٣٣	١.١٩٠	السرعة الرئيسية لمركز الثقل	٦
السابع	*٠٠.٧٥٣	١٩.٩٥	٢٨.١٩٥	العجلة العرضية للعضد اليسرى	٧
الثامن	*٠٠.٧٤٤	٥.٣٦٩	١.٧٠٧	العجلة الرئيسية للقدم اليسرى	٨
التاسع	*٠٠.٧٤٤	٠.١٤٥	٠.٧٨٦	السرعة الرئيسية للفخذ الأيسر	٩
العاشر	*٠٠.٦٩	٢١.٢٣	٢.٥٣٨-	العجلة العرضية للجذع اليسرى	١٠
الحادي عشر	*٠٠.٦٨٨	١٥.٣٤	١.٥٩-	العجلة العرضية لقدم اليمنى	١١
الثاني عشر	*٠٠.٩٨٣	٠.٠٨٦	١.٤٦	الإزاحة الرئيسية للساعدين الأيسر	١٢
الثالث عشر	*٠٠.٦٨٣	٨.٠	٠.٧٠٢	السرعة العرضية للساقي اليسرى	١٣
الرابع عشر	*٠٠.٦٨١	١٥.٠٤	١٠.٨٢-	العجلة الرئيسية لمركز الثقل	١٤
الخامس عشر	*٠٠.٦٧٧	١٩.٥٨	١٣٧١.٤-	القوة الرئيسية لمركز الثقل	١٥
السادس عشر	*٠٠.٦٧٥	٠.٣٧٧	٠.١٧١	السرعة العرضية لقدم اليسرى	١٦
السابع عشر	*٠٠.٦٧٢	١٠.١	٨.٠٥-	العجلة الرئيسية لفخذ اليسرى	١٧

\*قيمة (ر) الجدولية عند مستوى معنوي ٠٠٥ ودرجات حرية ٧ = ٠.٦٦٦

يتضح من جدول (٢) وجود ارتباط ذو دلالة إحصائية بين معاملات الارتباط الاكثر ارتباطاً بين المتغيرات الميكانيكية ومسافة رمي القرص خلال لحظة العصر حيث تراوحت قيم الارتباط ما بين (٠.٠٨٥٤ الى ٠.٠٦٧٢) وهي قيم أعلى من قيمة (ر) المحسوبة الجدولية عند مستوى ٠.٠٠٥.

### جدول (٣)

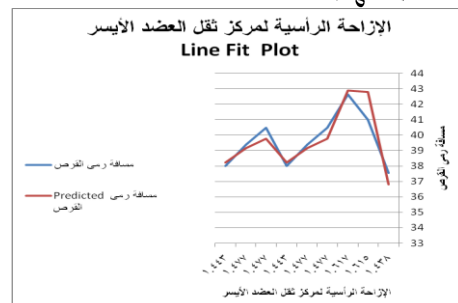
تحليل الانحدار المتعدد لمركز ثقل المؤشرات البيوميكانيكية المختارة لحظة العصر

المتغيرات الميكانيكية	المتوسط الحسابي	المقدار الثابت المعياري	الخطأ المعياري	قيمة F	معامل الانحدار ١	معامل الانحدار ٢	معامل الانحدار ٣	معامل الانحدار ٤	معامل الانحدار ٥	نسبة المساهمة%	معامل
١ الإزاحة الرئيسية للعضد الأيسر	١.٤٩٦	٠.٠١٨	٠.٩٧٠	٢٦.٥٠٣	١٥٠.٦٦.٢					٨٠.٨٦٨	
٢ السرعة الرئيسية للجذع الأيمن	٢.١٣٩	٠.٠٢٠	١.٠٢٨	٢٥.٢٢٧	٦٧٠.٨.٩	٠.٨٩١				٩٢.٨٥٣	
٣ العجلة العرضية لفخذ الأيمن	٩.٣٧٩-	٠.٠٢١	١.١١٠	٣٨٣٤.٢	٣٤٣١.٤	٠.٨٦٤	٠.٠٠١			٩٧.٩٧١	
٤ العجلة الرئيسية للساقي اليمنى	٤.٩٠٨-	٠.٠٢١	١.٠١٦	٢٣.٦٢٣	٢٢٢٣.٥٤	٢.٠٠٢	٠.١٣٢	٠.٠٧٢-		٩٨.٢٤٢	
٥ السرعة العرضية لفخذ الأيمن	١.٧٣٠	٠.٠٢٢	١.١٢٩	٢٣.٦٢٢	٢٢٢٣.٥٤	٢.٤٨٩	٠.١٦٤	٠.٠٧٨-	٠.٥٤٦-	٩٨.٤٣٧	

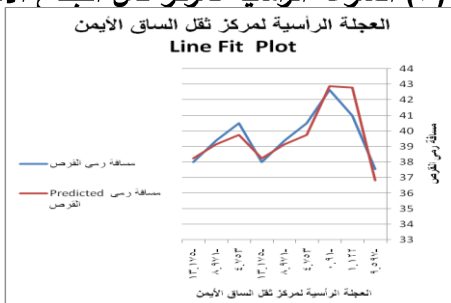
يتضح من جدول (٣) أن المؤشرات البيوميكانيكية للحظة الرمي المساهمة في مستوى أداء قذف القرص هي (٥) مؤشرات والتي اتضح من جدول (٢) أنها أكثر ارتباطاً من (١٧) مؤشر بيوميكانيكي خلال لحظة العصر داله على مستوى أداء قذف القرص وكان دلالة ارتباطها ونسبة تأثير مساهمتها.



شكل (٣) السرعة الرئيسية لمركز ثقل الجذع اليمين



شكل (٤) الازاحة الرئيسية لمركز ثقل العضد الأيسر



شكل (٥) العجلة الرئيسية لمركز ثقل الساق اليمين



شكل (٦) العجلة العرضية لمركز ثقل الفخذ الأيمن

شكل (٦) السرعة العرضية لمركز ثقل الفخذ الأيمن

#### جدول (٤)

معاملات الارتباط الاكثر ارتباطاً بين المتغيرات الزاوية ومسافة رمي القرص خلال لحظة العصر = ٩

ترتيب المؤشر	معامل الارتباط	الانحراف المعياري	المتوسط الحسابي	اسم المؤشر	م
الاول	٠.٨٢٢	٧.٥١	٢١٦.٨٥٢	السرعة الزاوية الكاحل الأيسر	١
الثاني	٠.٨٠٠-	٢.٥٢	٥٤٨٨.٩٣١-	العجلة لزاوية المرفق الأيسر	٢
الثالث	٠.٧٧٥-	٣.٦٥	١٧٠٧.٦٨٢	العجلة لزاوية المرفق الأيمن	٣
الرابع	٠.٧٢٢	٢٤.٦	٤٦٨١.٥٠٣-	العجلة لزاوية الكاحل الأيسر	٤
الخامس	٠.٧٠٠-	١٤.٣	٣٥٢٢.٤٨٢	العجلة لزاوية اليد اليمنى	٨
السادس	٠.٦٦٨-	١٣.٤١	١٠٢.٤٥	زاوية الكاحل الأيمن	٦

\*قيمة (ر) الجدولية عند مستوى معنويّة ٠٠٥ ودرجات حرية ٧

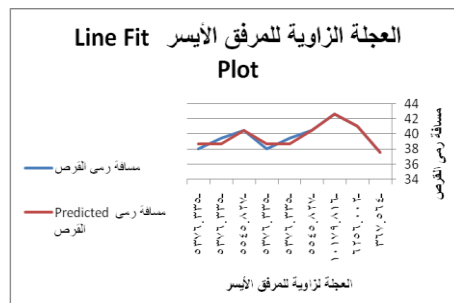
يتضح من جدول (٤) وجود ارتباط ذو دلالة إحصائية بين معاملات الارتباط الأكثر ارتباطاً بين المتغيرات الزاوية ومسافة رمي القرص خلال لحظة العصر حيث تراوحت قيم الارتباط ما بين (٨٢٢ إلى ٦٦٨) وهي قيمة أعلى من قيمة (٥) المحسوبة الجدولية عند مستوى ٠٠٠٥.

جدول (٥)

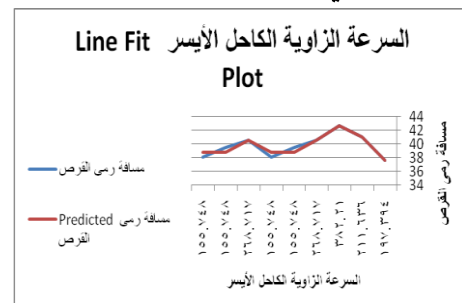
### تحليل الانحدار بين المتغيرات الزاوية ومسافة الرمي خلال لحظة العصر

نسبة المساهمة	معامل الانحدار			قيمة F	الخطأ المعياري الثابت	المقدار	المتوسط الحسابي	المؤشرات الزاوية	m
٨٠.٧٠٨				٠.١٦٦	٨٧.٧	١٢.١٧	٣.٦٥٤	٢١٦.٨٥٢	١ السرعة الزاوية الكاحل الأيسر
٩١.٧١٨				٠.٠٠٢	٠.١٢٥	٤٢٠.	١٢.٤	٥٤٨٨.٩٣١-	٢ العجلة الزاوية المرفق الأيسر
٩٧.٣٠٣			٠.٠٠٣	٠.٠٠٤	٠.٠٥٤	٣٥٨.١	٣.٦٢٣	٠.٢٦٤	٣ العجلة الزاوية المرفق الأيمن
٩٩.٠١٥		٠.٠٠١	-٠.٠٠٢	٠.٠٠٣	-٠.٠٨١	١٩٣٢	١.٣٥٤	٤٦٨١.٥٠٣-	٤ العجلة الزاوية الكاحل الأيسر
٩٩.١٨٠	٠.٠٠١	-٠.٠٠١	-٠.٠٠٣	٠.٠٠٤	-٠.٠٦٤	٥٧٨٨	٠.٧٠٠	٣٥٢٢.٤٨٢	٥ العجلة الزاوية اليدين

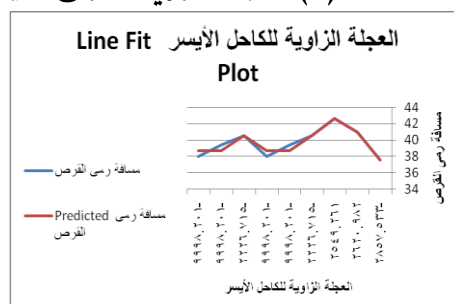
يتضح من جدول (٤) أن المؤشرات البيوميكانيكية للمتغيرات الزاوية ومسافة الرمي خلال لحظة العصر المساهمة في مستوى أداء قذف القرص هي (٥) مؤشرات والتي اتضح من جدول (٤) أنها أكثر ارتباطاً من (٦) مؤشرات متغيرات الزاوية ومسافة الرمي خلال لحظة العصر الدالة على مستوى أداء قذف القرص وكان دلالة ارتباطها ونسبة تأثير مساحتها.



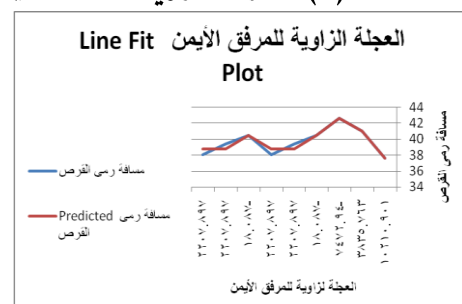
شكل (٨) العجلة الزاوية للمرفق الأيمن



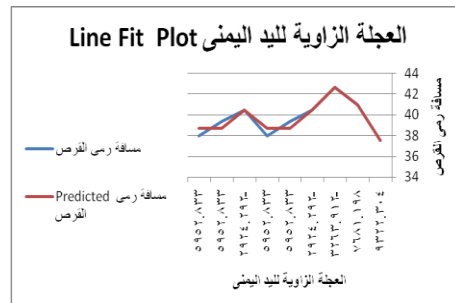
شكل (٧) السرعة الزاوية للكاحل الأيسر



شكل (١٠) العجلة الزاوية للكاحل الأيسر



شكل (٩) العجلة الزاوية للكاحل الأيمن



شكل (١١) العجلة الزاوية لليد اليمنى  
جدول (٦)

### مصفوفة أعلى المعامالت الارتباطاً بين المتغيرات الميكانيكية ومسافة الرمي خلال لحظة الرمي $N = 9$

ترتيب المؤشر	معامل الارتباط	المعامل المعياري	الانحراف الحسابي	المتوسط الحسابي	المؤشرات الميكانيكية لمراكز نقل الوصلات	م
الأول	٠.٨٦٨	٠.٢٠٦	٠٠١٣-	السرعة الرئيسية للقدم اليمنى	١	
الثاني	٠.٨٦٦	١.٤٢٧	١١.١٢٨	محصلة السرعة للساعد الأيمن	٢	
الثالث	٠.٨٦١	٠.٣٩١	٠٠٧٢-	السرعة الرئيسية للفخذ الأيمن	٣	
الرابع	٠.٨٥٦	٠.٤٩١	٠.١٨٨	السرعة الرئيسية لقدم الأيسر	٤	
الخامس	٠.٨٢١-	١.٣١	٢٠.٧٤٧	العجلة العرضية للقدم الأيمن	٥	
السادس	٠.٨٢	٠.٨١٦	١٢.٨٢	السرعة العرضية لليد اليمنى	٦	
السابع	٠.٨١٥	١.٦٠	١٥.٥٥	محصلة السرعة لليد اليمنى	٧	
الثامن	٠.٨١٥	٠.٨٥٨	٩.٠٤	السرعة العرضية للساعد الأيمن	٨	
التاسع	٠.٨١	١.٤٨	٦٠.٨٥	السرعة الرئيسية للساعد الأيمن	٩	
العاشر	٠.٧٨٩	١.٣٢	٤.٦٣	محصلة السرعة للعضد الأيمن	١٠	
الحادي عشر	٠.٧٥٩	١.٨٥	٨.٣١٩	السرعة الرئيسية لليد اليمنى	١١	
الثاني عشر	٠.٧٥٢	١.٠٤	١.١٦	محصلة السرعة للجذع الأيمن	١	
الثالث عشر	٠.٧٥٢	٠.٧٩٩	٢.٧٤	السرعة الرئيسية للعضد الأيمن	٢	
الرابع عشر	٠.٧٤١	٠.٠٧٣	١.٤٥	الإزاحة الرئيسية للعضد اليسير	٣	
الخامس عشر	٠.٧٢٨	٠.٢٤٧	٠.٠٢٩	السرعة الرئيسية للساقي الأيمن	٤	
السادس عشر	٠.٧١٦	٠.٥٤٦	٠.١٣٩-	السرعة العرضية للجذع اليسير	٥	
السابع عشر	٠.٧١	٠.٧٠٧	٠.٨٦٣	محصلة السرعة لمراكز نقل العام	٦	
الثامن عشر	٠.٧٠٨	٠.٣٤٤	٠.٤٧٨	السرعة الرئيسية لمراكز نقل العام	٧	
التاسع عشر	٠.٧٠٥	١.٢٠	٣.٥٤٩	السرعة العرضية للعضد الأيمن	٨	
العشرون	٠.٧٠٤	٠.٠٥٦	١.٤١	الإزاحة الرئيسية للساقي الأيسر	٩	
الواحد والعشرون	٠.٦٩٥	٥.٦٨	٣٨٠.١١-	العجلة الرئيسية للساعد الأيمن	١٠	
الثاني والعشرون	٠.٦٩٣	١.٠٧١	٠.٨٦٣	السرعة العرضية للجذع الأيمن	١١	
الثالث والعشرون	٠.٦٩٢	٠.٥١٢	٠.٠١٤-	السرعة الرئيسية للساقي الأيسر	١٢	
الرابع والعشرون	٠.٦٨٣-	١١.٩٧	٣٠.٧٩	العجلة الأفقية للساعد الأيسر	١٣	
الخامس والعشرون	٠.٦٧٨-	٥.٥٤	١.١٩٩	العجلة العرضية للساقي اليسرى	١٤	
السادس والعشرون	٠.٦٦٩	٠.٠٨٧	١.٣٠٧	الإزاحة الرئيسية للجذع الأيسر	١٥	
السابع والعشرون	٠.٦٦٨	٣.٠٠١	٠.٢٦٩	العجلة الأفقية للقدم اليمنى	١٦	

\*قيمة (ر) الجدولية عند مستوى معنوية  $0.005$  ودرجات حرية  $7 = 0.666$

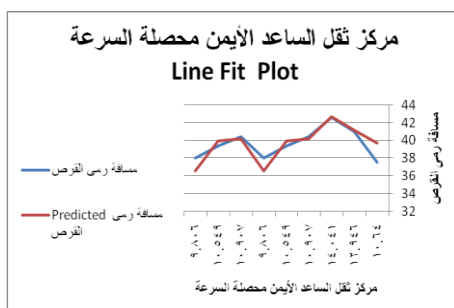
يتضح من جدول (٦) وجود ارتباط ذو دلالة إحصائية بين معامالت الارتباط الاكثر ارتباطاً بين المتغيرات الميكانيكية ومسافة الرمي خلال لحظة الرمي حيث تراوحت قيم الارتباط ما بين (٠.٦٦٨ الى ٠.٨٦٨) وهي قيم أعلى من قيمة (ر) المحسوبة الجدولية عند مستوى  $0.005$ .

## جدول (٧)

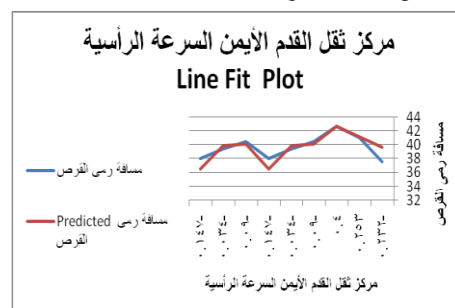
## تحليل الانحدار بين المؤشرات الميكانيكية ومسافة الرمي خلال لحظة الرمي

نسبة المساهمة	معامل الانحدار				قيمة ف	الخطأ المعياري الثابت	المقدار الحسابي	المؤشرات الميكانيكية	م
٧٥.٧٤٨					٧.١٢٦	٢٥.٠١٠	٤٢٠.٨٠	٣٩.٥٧١	٠٠١٣-
٨٤.٥٤٥				٣.٥٤٠	١٦.٠٨٩	٢٢١١.٣	١.٧٨٩	٠٠٥٧	١١.١٢٨
٩٩.٦٠٧			٧.١٤٤	٣.٥١٢	٣.٢٦٤	٢٠٧٨.٨	١.٥٠٧	٠٠٢٦	٠٠٧٢-
٩٩.٦٤٢	١.٣٤٦	-٥.٩٤٨	٣.٥٤٤	٢.٦٧١	١٣٣٣	١.٦٣٠	٠٠٢٥	٠.١٨٨	السرعة الرئيسية للقدم اليسرى
٩٩.٦٤٥	٠.٠٨٠-	٠.٨١٨	-٨.٤٨٢	٣.٥٤٠	١.١٦٧	١١٥٧	١.٥٦٥	٠٠٢٦	العجلة العرضية للقدم الأيمن

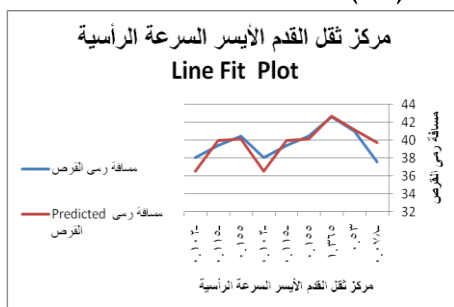
يتضح من جدول (٣) أن المؤشرات البيوميكانيكية للحظة الرمي المساهمة في مستوى أداء قذف القرص هي (٥) مؤشرات والتي اتضح من جدول (٦) أنها أكثر ارتباطاً من (١٦) مؤشر بيوميكانيكي لمسافة الرمي خلال لحظة الرمي داله على مستوى أداء قذف القرص وكان دلالة ارتباطها ونسبة تأثير مساحتها.



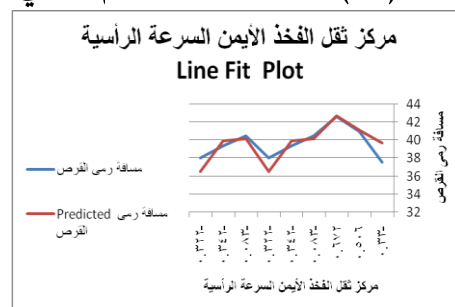
شكل (١٣) محصلة السرعة للساعد الأيمن



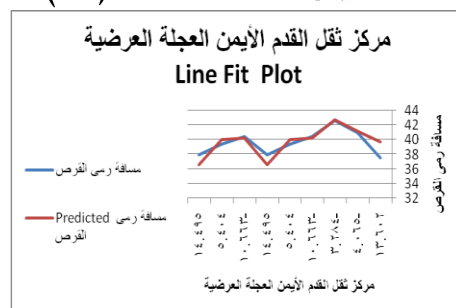
شكل (١٢) السرعة الرئيسية للقدم اليمني



شكل (١٥) السرعة الرئيسية للقدم اليسرى



شكل (١٤) السرعة الرئيسية للفخذ الأيمن



## شكل (١٦) العجلة العرضية للقدم الأيمن

جدول (٨)

## مصفوفة أعلى المعاملات الارتباطاً بين المتغيرات الزاوية ومسافة

الرمي خلال لحظة الرمي  $N = 9$ 

ترتيب المؤشر	معامل الارتباط	الانحراف المعياري	المتوسط الحسابي	اسم المؤشر الزاوي	M
الأول	* .٠٨٣٩	٥.٥٦	١١١.٩٥٩	زاوية الكاحل الأيمن	١
الثاني	* .٠٨١٨-	٥.٦٥٨	١٧١.٠٦٩	زاوية اليد اليمنى	٢
الثالث	* .٠٨١٢-	١.٤٩	١٤٨.٣٩٠	زاوية اليد اليسرى	٣
الرابع	* .٠٨١١-	٧.٧٤	٩٧.٧٦٧	السرعة لزاوية اليد اليسرى	٤
الخامس	* .٠٨٠٩-	٢.٣٩٦	١٦٧.٧٥٤	زاوية الفخذ الأيسر	٥
السادس	* .٠٧٠٤	١.٦١٢	٥.٧٣٩-	السرعة الزاوية للفخذ الأيمن	٦
السابع	* .٠٧٠٢-	٨.٦٢٢	٢٨٧.٣١-	السرعة الزاوية للمرفق الأيسر	٧
الثامن	* .٠٦٦٧-	١.٣٥	٩٦٣.٨٤	العجلة الزاوية للكاحل الأيسر	٨
التاسع	* .٠٦٦٦-	٦.٠٠١	٥٣٠.٩.٩٠	العجلة الزاوية لليد اليسرى	٩

\*قيمة (ر) الجدولية عند مستوى معنوية ٠٠٥ ودرجات حرية ٧ = ٠.٦٦٦

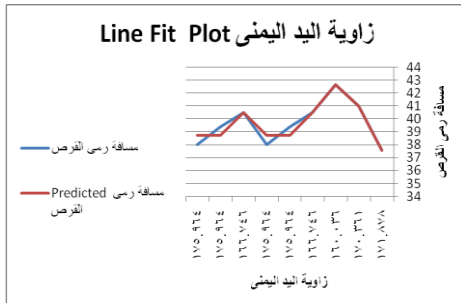
يتضح من جدول (٨) وجود ارتباط ذو دلالة إحصائية بين معاملات الارتباط الأكثر ارتباطاً بين المتغيرات الزاوية ومسافة الرمي خلال لحظة الرمي حيث تراوحت قيم الارتباط ما بين (٠.٨٣٩ إلى ٠.٦٦٦) وهي قيم أعلى من قيمة (ر) المحسوبة الجدولية عند مستوى ٠٠٥.

جدول (٩)

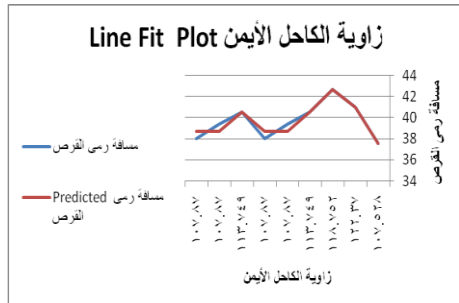
## تحليل الانحدار بين المتغيرات الزاوية ومسافة الرمي خلال لحظة الرمي

نسبة المساهمة	معامل الانحدار				قيمة F	الخطأ المعياري الثابت	المقدار	المتوسط الحسابي	المؤشرات الزاوية	M
٨١.٥٨٩					٠.٣٥٤	١٢٤.٠٣	١.٠٦٩	٠.٠٢٥	زاوية الكاحل الأيمن	١
٩٨.٠٩٤				٠.٠٣٠	٠.٣٠٩	٦٢٦.٦	١.٠٦٣	٠.٠٠٩	زاوية اليد اليمنى	٢
٩٩.٣٢٧		٠.٠١٦	٠.٠٠٧	٠.٣٢٢	٣٦٨١.٥	١.١٣٣	٠.٠٠٢	١٤٨.٣٩٠	زاوية اليد اليسرى	٣
٩٩.٤٥٤	٠.٠٠٣-	٠.٠٠٤٦	٠.٠١٥	٠.٢٧٢	٢٤٥٧.٩	١.٢٠١	٠.٠٠٥	٩٧.٧٦٧	السرعة لزاوية اليد اليسرى	٤
٩٩.٦٤٠	٠.٠٨٧٤	٠.٠٠١٩	٠.٢٦٢-	٠.٥٩٤-	٥٧٨٨.٢	٠.٧٠٠	٠.٠٠٠	١٦٧.٧٥٤	زاوية الفخذ الأيسر	٥

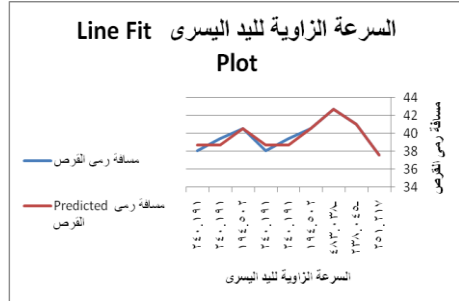
يتضح من جدول (٣) أن المؤشرات البيوميكانيكية لمتغيرات الزاوية ومسافة الرمي خلال لحظة الرمي المساهمة في مستوى أداء قذف القرص هي (٥) مؤشرات والتي اتضح من جدول (٨) أنها أكثر ارتباطاً من (٩) مؤشر بيوميكانيكي خلال الزاوية ومسافة الرمي خلال لحظة الرمي داله على مستوى أداء قذف القرص وكان دلالة ارتباطها ونسبة تأثير مساهمتها.



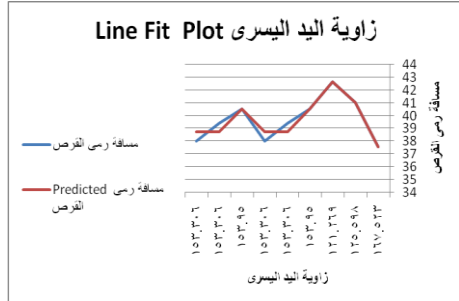
### شكل (١٨) زاوية اليد اليمني



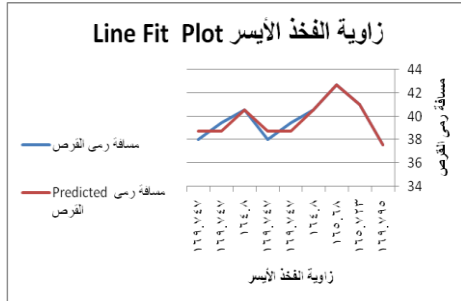
## شكل (١٧) زاوية الكاحل الایمن



### شكل (٢٠) السرعة الزاوية لليد اليسرى



### شكل (١٩) زاوية اليد اليسرى



## شكل (٢١) زاوية الفخذ اليسرى

مناقشة النتائج:

١- مناقشة نتائج: نموذج بيوميکانیكي احصائي مسافة رمي القرص خلال لحظة العصر للاعبين  
قذف القرص

يتضح من جدول (٢) الخاص بأعلى المعاملات الارتباط بين المؤشرات الميكانيكية ومسافة رمي القرص خلال لحظة العصر أن نتائج التحليل الاحصائي أشارت الى انحصر معاملات الارتباط ما بين (٠٠٨٥٤) كأكبر معامل ارتباط في الإزاحة الرأسية للعهد الأيسر، (٠٠٦٧٢) كأقل معامل ارتباط في العجلة الرأسية للفخذ اليمين، مما يشير الى أن أعلى معامل ارتباط هو ارتباط عكسي في الإزاحة الرأسية لمركز ثقل العهد الأيسر ومسافة الرمي لمهارة قذف القرص، من (١٧) متغير من المؤشرات البيوميكانيكية للحظة العصر الدالة على مستوى أداء مسابقة قذف القرص تم من خلالها التوصل الى المؤشرات الأعلى ارتباطا والتي سيتم تحديدها في

الجدول (٣) أن المؤشرات البيوميكانيكية للحظة العصر المساهمة في مسافة قذف القرص هي (٥) مؤشرات والتي كان دلالة ارتباطها ونسبة تأثير مساهمتها كالتالي:

**المؤشر الأول: الإزاحة الرأسية للعصب الأيسر**

أظهرت نتائج جدول رقم (٢)، (٣) وشكل (٢) أن الإزاحة الرأسية لمركز ثقل العصب الأيسر أكثر المؤشرات مساهمة في مسافة قذف القرص خلال لحظة العصر حيث بلغت نسبة مساهمتها (٨٠.٦٨٦٪)، وهذا يتفق مع نتائج جدول رقم (٢) الذي أثبت أن هناك علاقة ارتباطيه عكسيه بين الإزاحة الرأسية لمركز ثقل العصب الأيسر ومسافة الرمي لمسابقة قذف القرص حيث بلغت قيمة معامل الارتباط (٠.٨٥٤) ارتباط طردي قوي أي أنه كلما زادت الإزاحة الرأسية لمركز ثقل العصب الأيسر كلما زادت مسافة الرمي. وترى الباحثة من خلال النتائج أن الإزاحة الرأسية للعصب الأيسر جاء في الترتيب الأول كأكثر عامل مساهم للمتغيرات البيوميكانيكية ارتباطا بمسافة قذف القرص وعليه فإنه يجب تدريب اللاعبين عند تصميم البرنامج التدريسي لتطوير القوة العضلية بالإضافة إلى التوازن العضلي بين لذراعي اللاعب لضمان تحقيق نسبة مساهمته حيث إنه مؤشر له نسبة مساهمة في التتبؤ بالمستوى الرقمي لمسابقة قذف القرص بالإضافة إلى باقي المتغيرات الأكثر ارتباطا.

#### **المهام الثاني: السرعة الرأسية لمركز ثقل الجذع اليمين**

أظهرت نتائج جدول رقم (٢)، (٣) وشكل (٢) أن السرعة الرأسية لمركز ثقل الجذع اليمين ثاني أكثر المؤشرات مساهمة في مسافة الرمي لمهارة رمي القرص لحظة العصر حيث رفعت نسبة مساهمتها (٨٠.٦٨٦٪ إلى ٩٢.٨٥٣٪)، وهذا يتفق مع نتائج جدول رقم (٢) الذي أثبت أن هناك علاقة ارتباطيه عكسيه بين السرعة الرأسية لمركز ثقل الجذع اليمين ومسافة الرمي لمهارة رمي القرص حيث بلغت قيمة معامل الارتباط (٠.٨٠٦) ارتباط طردي قوي أي أنه كلما السرعة الرأسية لمركز ثقل الجذع اليمين كلما زاد مسافة الرمي. وترى الباحثة من خلال النتائج أن السرعة الرأسية لمركز ثقل الجذع اليمين جاء في الترتيب كثاني عامل مساهم كأكثرب المتغيرات البيوميكانيكية ارتباطا بمسافة دفع القرص وعليه فإنه يجب تدريب اللاعبين على أساس مركز ثقل الجذع اليمين كأحد المحددات البيوميكانيكية لتتبؤ مسافة قذف القرص، وكذلك كمتغير بيوميكانيكي مهم عند تصميم البرنامج التدريسي لتطوير القوة العضلية والتوازن العضلي بين طرفي الجسم لضمان تحقيق نسبة مساهمته حيث أنه مؤشر له نسبة مساهمة في تحسين المستوى الرقمي في مسابقة قذف القرص بالإضافة إلى باقي المتغيرات الأكثر ارتباطا.

**المؤشر الثالث: العجلة العرضية لمركز ثقل الفخذ اليمين**

أظهرت نتائج جدول رقم (٢)، (٣) وشكل (٤) أن العجلة العرضية لمركز ثقل الفخذ اليمين ثالث أكثر المؤشرات مساهمة في رمي القرص لمهارة رمي القرص خلال لحظة العصر حيث رفعت نسبة مساهمتها (٩٢.٨٥٣% إلى ٩٧.٩٧١%)، وهذا يتفق مع نتائج جدول رقم (٢) الذي أثبت أن هناك علاقة ارتباطية طردية بين العجلة العرضية لمركز ثقل الفخذ اليمين ومسافة الرمي لمهارة رمي القرص حيث بلغت قيمة معامل الارتباط (٠.٧٧٥) ارتباط طردي قوي أي أنه كلما زادت العجلة العرضية لمركز ثقل الفخذ اليمين كلما زادت مسافة الرمي. وترى الباحثة من خلال النتائج أن العجلة العرضية لمركز ثقل الفخذ اليمين جاء في الترتيب الثالث كأكثر عامل مساهم للمتغيرات البيوميكانيكية ارتباطاً بمسافة قذف القرص وعليه فإنه يجب تدريب اللاعبين عند تصميم البرنامج التدريسي لتطوير القوة العضلية بالإضافة إلى التوازن العضلي بين عضلات الطرف السفلي للاعب لضمان تحقيق نسبة مساهمته حيث إنه مؤشر له نسبة مساهمة في التنبؤ بالمستوى الرقمي لمسابقة قذف القرص بالإضافة إلى باقي المتغيرات الأكثر ارتباطاً.

**المؤشر الرابع: العجلة الرأسية لمركز ثقل الساق اليمين**

أظهرت نتائج جدول رقم (٢)، (٣) وشكل (٥) أن العجلة الرأسية لمركز ثقل الساق اليمين رابع أكثر المؤشرات مساهمة في مسافة الرمي لمهارة رمي القرص خلال لحظة العصر حيث رفعت نسبة مساهمتها (٩٧.٩٧١% إلى ٩٨.٢٤٢%)، وهذا يتفق مع نتائج جدول رقم (٢) الذي أثبت أن هناك علاقة ارتباطية طردية بين العجلة الرأسية لمركز ثقل الساق اليمين ومسافة الرمي لمهارة رمي القرص حيث بلغت قيمة معامل الارتباط (٠.٧٧٤) ارتباط طردي قوي أي أنه كلما زادت العجلة الرأسية لمركز ثقل الساق اليمين كلما زاد مسافة الرمي. وترى الباحثة من خلال النتائج أن العجلة الرأسية لمركز ثقل الساق اليمين جاء في الترتيب الرابع كأكثر عامل مساهم للمتغيرات البيوميكانيكية ارتباطاً بمسافة قذف القرص وعليه فإنه يجب تدريب اللاعبين عند تصميم البرنامج التدريسي لتطوير القوة العضلية بالإضافة إلى التوازن العضلي بين رגלי اللاعب لضمان تحقيق نسبة مساهمته حيث إنه مؤشر له نسبة مساهمة في التنبؤ بالمستوى الرقمي لمسابقة قذف القرص بالإضافة إلى باقي المتغيرات الأكثر ارتباطاً.

**المؤشر الخامس: السرعة العرضية لمركز ثقل الفخذ اليمين**

أظهرت نتائج جدول رقم (٢)، (٣) وشكل (٦) أن السرعة العرضية لمركز ثقل الفخذ اليمين الخامس أكثر المؤشرات مساهمة في مسافة الرمي لمهارة رمي القرص خلال لحظة الرمي حيث رفعت نسبة مساهمتها (٩٨.٤٣٧% إلى ٩٨.٢٤٢%)، وهذا يتفق مع نتائج جدول رقم (٢)

الذي أثبت أن هناك علاقة ارتباطية طردية بين السرعة العرضية لمركز ثقل الفخذ الأيمن ومسافة الرمي لمهارة رمي القرص حيث بلغت قيمة معامل الارتباط (٠.٧٧) ارتباط طردي قوي أي أنه كلما زادت السرعة العرضية لمركز ثقل الفخذ الأيمن كلما زاد مسافة الرمي. وترى الباحثة من خلال النتائج أن السرعة العرضية لمركز ثقل الفخذ الأيمن جاء في الترتيب الخامس كأكثر عامل مساهم للمتغيرات البيوميكانيكية ارتباطاً بمسافة قذف القرص وعليه فإنه يجب تدريب اللاعبين عند تصميم البرنامج التدريبي لتطوير القوة العضلية بالإضافة إلى التوازن العضلي بين عضلات الطرف السفلي لضمان تحقيق نسبة مساهمته حيث إنه مؤشر له نسبة مساهمة في التنبؤ بالمستوى الرقمي لمسابقة قذف القرص بالإضافة إلى باقي المتغيرات الأكثر ارتباطاً.

ومما تقدم من نتائج جدولى رقم (٢)، (٣) وأشكال (٦) إلى (٢) تتفق تلك النتائج مع ما أشار إليه إبراهيم عطا (٢٠١٨) إلى ضرورةأخذ العوامل الطبيعية والميكانيكية لقوانين المقدوفات في الاعتبار سواء عند تعليم أو تدريب لاعبي الرمي حيث تتباين أهمية هذه العوامل من حيث تأثيرها على مسافة الرمي وهي سرعة الانطلاق الأولية للأداة وزاوية انطلاق الأداء وارتفاع نقطة الانطلاق ومقاومة الهواء للأداء والجاذبية الأرضية. (١٦٢)

وقد أوضحت نتائج دراسة كوه وستوهك Coh,& Stuhec (٢٠٠٥) (٢٢) أن أعلى نتيجة في تكنيك الدوران قد أعتمد على سرعة إطلاق الرمية ، وعلى زاوية الإطلاق المثالية وعلى العلاقة بين الحركة الدورانية والعجلة النهائية للرمية وعلى سرعة الزاوية في مرفق وكتف وذراع الرامي، ودراسة أيريل وأخرون Ariel (٢٠٠٥) (١٩) الاهتمام بزاوية الذراع أثناء تعجيل الأداء . والاعتماد على تكنيك يسمح بأفضل مزج للأعلى متغيرات، ومتغيرات التي تؤثر على الأداء الأفضل ارتفاع نقطة الانطلاق سرعة الإطلاق ، السرعة الزاوية وتوصلت دراسة فيدوكوفا Vodičková (٢٠٠٣) (٣٣) إلى الاهتمام بسرعة مركز ثقل الجسم ، وإطالة الحركات على الخط الطولي، والاستفادة لتحسين عملية التدريب

ومن خلال ما تقدم يتضح أنه يمكن التنبؤ بمسافة رمي القرص خلال لحظة العصر للاعب قذف القرص وذلك من خلال نموذج بيوميكانيكي احصائي لمسافة رمي القرص لتتبؤ بدلة المساهم الأول للإزاحة الرئيسية للعضد الأيسر ، والمساهم الثاني للسرعة الرئيسية لمركز ثقل الجذع الأيمن ، والمساهم الثالث للعجلة العرضية لمركز ثقل الفخذ الأيمن ، والمساهم الرابع للعجلة الرئيسية لمركز ثقل الساق الأيمن ، والمساهم الخامس للسرعة العرضية لمركز ثقل الفخذ الأيمن . وبذلك تكون الباحثة قد توصلت إلى النموذج الإحصائي للحظة مسافة رمي القرص خلال لحظة العصر بالجزء الأول من فرض البحث .

## ٢ - مناقشة نتائج: نموذج بيوميكانيكى احصائى الزاوية ومسافة رمي القرص خلال لحظة العصر للاعب قذف القرص

يتضح من جدول (٤) الخاص بأعلى المعاملات الارتباط بين المتغيرات الزاوية ومسافة رمي القرص خلال لحظة العصر أنه أشارت نتائج التحليل الاحصائي انحصر معاملات الارتباط ما بين (٠٠٨٢٢) كأكبر معامل ارتباط في السرعة الزاوية الكاحل الأيسر، (٠٠٦٦٨-) كأقل معامل ارتباط ، مما يشير الى أن أعلى معامل ارتباط ذو علاقة ارتباطيه طردية بين السرعة الزاوية للكاحل الايسر ومسافة الرمي لمسابقة رمي القرص ، من (٥) مؤشرات لمتغيرات الزاوية ومسافة الرمي خلال لحظة العصر الدالة على مستوى أداء مسابقة قذف القرص تم من خلالها التوصل الى المؤشرات الأعلى ارتباطا والتي سيتم تحديدها في الجدول (٥) والتي كان دلالة ارتباطها ونسبة تأثير مساحتها كالتالي:

### **المؤشر الأول: السرعة الزاوية للكاحل الايسر**

أظهرت نتائج جدول رقم (٤)، (٥) وشكل (٧) أن السرعة الزاوية للكاحل الايسر أكثر المؤشرات مساهمة في المتغيرات الزاوية ومسافة الرمي خلال لحظة العصر حيث بلغت نسبة مساحتها (٨٠٠.٧٠٨٪)، وهذا يتفق مع نتائج جدول رقم (٤) الذي أثبت أن هناك علاقة ارتباطيه طردية بين السرعة الزاوية للكاحل الايسر ومسافة الرمي لمهارة رمي القرص حيث بلغت قيمة معامل الارتباط (٠٠٨٢٢) ارتباط طردي قوي أي أنه كلما زادت السرعة الزاوية للكاحل الايسر كلما زادت مسافة الرمي، وترى الباحثة من خلال النتائج أن السرعة الزاوية للكاحل الايسر جاءت في الترتيب الأول كأكثر عامل مساهم للمتغيرات البيوميكانيكية ارتباطا بمسافة قذف القرص وعليه فإنه يجب تدريب اللاعبين عند تصميم البرنامج التدريبي لتعديل الأداء الفني لوضع الكاحل لضمان تحقيق نسبة مساحتها حيث إنه مؤشر له نسبة مساهمة في التنبؤ بالمستوى الرقمي لمسابقة قذف القرص بالإضافة إلى باقي المتغيرات الأكثر ارتباطا.

### **المؤشر الثاني: العجلة الزاوية للمرفق الأيمن**

أظهرت نتائج جدول رقم (٤)، (٥) وشكل (٨) أن العجلة الزاوية للمرفق الايمن ثانى أكثر المؤشرات مساهمة في المتغيرات الزاوية ومسافة الرمي خلال لحظة العصر حيث رفعت نسبة مساحتها (٩١.٧١٨٪ الي ٦٨٠.٧٠٨٪)، وهذا يتفق مع نتائج جدول رقم (٤) الذي أثبت أن هناك علاقة ارتباطيه عكسيه بين العجلة الزاوية للمرفق الايمن ومسافة الرمي لمهارة رمي القرص حيث بلغت قيمة معامل الارتباط (-٠٠٨٠٠) ارتباط عكسي قوي أي أنه كلما قلت العجلة الزاوية للمرفق الايمن كلما زاد مسافة الرمي، وترى الباحثة من خلال النتائج أن العجلة الزاوية للمرفق الأيمن

جاءت في الترتيب الثاني كأكثر عامل مساهم للمتغيرات البيوميكانيكية ارتباطا بمسافة قذف القرص وعليه فإنه يجب تدريب اللاعبين عند تصميم البرنامج التدريبي لتعديل الأداء الفني لوضع مرفق الذراع الأيمن للاعب لضمان تحقيق نسبة مساهمته حيث إنه مؤشر له نسبة مساهمة في التنبؤ بالمستوى الرقمي لمسابقة قذف القرص بالإضافة إلى باقي المتغيرات الأكثر ارتباطا.

#### **المؤشر الثالث: العجلة الزاوية للمرفق الأيسر**

أظهرت نتائج جدول رقم (٤)، (٥) وشكل (٩) أن العجلة الزاوية للمرفق الأيمن اليسرى ثالث أكثر المؤشرات مساهمة في المتغيرات الزاوية ومسافة الرمي خلال لحظة العصر حيث رفعت نسبة مساهمتها (٦١.٧١٨% إلى ٣٠.٣%)، وهذا يتحقق مع نتائج جدول رقم (٤) الذي أثبت أن هناك علاقة ارتباطية عكسية بين العجلة الزاوية للمرفق الأيمن ومسافة الرمي لمهارة رمي القرص حيث بلغت قيمة معامل الارتباط (-٠.٧٧٥) ارتباط عكسي قوي أي أنه كلما زادت العجلة الزاوية للمرفق الأيمن كلما زادت مسافة الرمي، وترى الباحثة من خلال النتائج أن العجلة الزاوية للمرفق الأيسر جاءت في الترتيب الثالث كأكثر عامل مساهم للمتغيرات البيوميكانيكية ارتباطا بمسافة قذف القرص وعليه فإنه يجب تدريب اللاعبين عند تصميم البرنامج التدريبي لتعديل الأداء الفني لوضع مرفق الذراع الأيسر للاعب لضمان تحقيق نسبة مساهمته حيث إنه مؤشر له نسبة مساهمة في التنبؤ بالمستوى الرقمي لمسابقة قذف القرص بالإضافة إلى باقي المتغيرات الأكثر ارتباطا.

#### **المؤشر الرابع: العجلة الزاوية للكاحل الأيسر**

أظهرت نتائج جدول رقم (٤)، (٥) وشكل (١٠) أن العجلة الزاوية للكاحل الأيسر رابع أكثر المؤشرات مساهمة في المتغيرات الزاوية ومسافة الرمي خلال لحظة العصر حيث رفعت نسبة مساهمتها (٣٠.٣% إلى ١٥.٩٩%)، وهذا يتحقق مع نتائج جدول رقم (٤) الذي أثبت أن هناك علاقة ارتباطية طردية بين العجلة الزاوية للكاحل الأيسر ومسافة الرمي لمهارة رمي القرص حيث بلغت قيمة معامل الارتباط (-٠.٧٣٢) ارتباط طردي قوي أي أنه كلما زادت العجلة الزاوية للكاحل الأيسر كلما زاد مسافة الرمي، وترى الباحثة من خلال النتائج أن العجلة الزاوية للكاحل الأيسر جاءت في الترتيب الرابع كأكثر عامل مساهم للمتغيرات البيوميكانيكية ارتباطا بمسافة قذف القرص وعليه فإنه يجب تدريب اللاعبين عند تصميم البرنامج التدريبي لتعديل الأداء الفني لوضع الكاحل الأيسر لضمان تحقيق نسبة مساهمته حيث إنه مؤشر له نسبة مساهمة في التنبؤ بالمستوى الرقمي لمسابقة قذف القرص بالإضافة إلى باقي المتغيرات الأكثر ارتباطا.

## المؤشر الخامس: العجلة الزاوية لليد اليمني

أظهرت نتائج جدول رقم (٤)، (٥) وشكل (١١) أن العجلة الزاوية لليد اليمني الخامس أكثر المؤشرات مساهمة في المتغيرات الزاوية ومسافة الرمي خلال لحظة العصر حيث رفعت نسبة مساهمتها (٥٩٩.١٨ %)، وهذا يتفق مع نتائج جدول رقم (٤) الذي أثبت أن هناك علاقة ارتباطية عكسية بين العجلة الزاوية لليد اليمني ومسافة الرمي لمهارة رمي القرص حيث بلغت قيمة معامل الارتباط (-٠.٧٠٠) ارتباط عكسي قوي أي أنه كلما قلت العجلة الزاوية لليد اليمني كلما زادت مسافة الرمي، وترى الباحثة من خلال النتائج أن العجلة الزاوية لليد اليمني جاءت في الترتيب الخامس كأكثر عامل مساهم للمتغيرات البيوميكانيكية ارتباطا بمسافة قذف القرص وعليه فإنه يجب تدريب اللاعبين عند تصميم البرنامج التدريسي لتعديل الأداء الفني لوضع اليد ال اليمنى للاعب لضمان تحقيق نسبة مساهمته حيث إنه مؤشر له نسبة مساهمة في التنبؤ بالمستوى الرقمي لمسابقة قذف القرص بالإضافة إلى باقي المتغيرات الأكثر ارتباطا.

ومما تقدم من نتائج جدول رقم (٤)، (٥) وأشكال (٦ إلى ١١) تتفق تلك النتائج مع ما توصلت إليه دراسة نيمتسيف Nemtsev (٢٠١١) (٣٠) إلى أن انخفاض قيمة الإزاحة للمتسابق ليست العامل الرئيسي في انخفاض المستوى الرقمي، ولكنها مؤشر هنا لعدم استغلال السرعة والطاقة المكتسبة بالشكل الصحيح وهكذا فإن زيادة مسافة الرمي بالإزاحات مرهونة بزيادة سرعة الانطلاق وهي أساس مشكلة ترتبط بالتدريب للمتسابق. توصل هشام هويدى ومشتاق عبد الرضى (٢٠١٥) (١٧) إلى صحة النموذج السببي في بيان ترتيب المتغيرات البيويكينماتيكية المستخدمة، اتضح وجود تأثيرات تفاعلية في الضربة الخلفية بين المتغيرات البحث اتخذت أشكالا مختلفة من المسارات منها ما هو مباشر ومؤثر في الأداء مثل (زاوية المرفق لليد الضاربة، زاوية الكتف، زاوية إطلاق الكرة، زاوية بين الفخذين).

وتشير دراسة لى وآخرون Leigh, et.al (٢٠١٠) (٢٧) أن معدلات الزوايا للنقطة المنخفضة لمدار رمي القرص التي تؤدي لأكبر انخفاض بالتسارع، ويكون أقل وضوها للمتسابق الذي يستخدم التسارع الأفقي للرجلين بشكل أفضل، وعادة ما تظهر المسارات انخفاضا في التسارع عند لحظة لمس القدم للأرض مرتبطة بالغلب على القصور الذاتي للفرس في هذه اللحظة للزمن.

ويتفق كل من تشيو Chiu (٢٠٠٨)، هوبارد، وشنغ Hubbard & Cheng (٢٠٠٧) (٢٤) لذا يتضح أن طبيعة التغير في السرعة وبلغ أعلى معدلات سرعة أفقية ورأسية وعرضية ومحصلة للفرس والجسم من مرحلة إلى أخرى تقدم لنا العامل الحاسم في التأثير وتحقيق تتابع زمني ناجح لأقصى سرعة للمحاور في المراحل الرئيسية من حركة الرمي كما أن متوسط

طول مسار التسارع النهائي للقرص بعد هبوط القدم الداعمة متباوبي وسرعة انطلاق الأداة نتيجة لقوة اللاعب تؤثر على المسافة الكلية، إذ أن هذا العامل يعتبر من أهم العوامل المؤثرة في طول المسافة الرمي، حيث أن مسافة الرمي تتناسب طردياً مع مربع سرعة انطلاق الأداة، فإذا ضاعفنا من سرعة الانطلاق، فان مسافة الرمي سوف تزداد إلى أربعة إضعاف، وزيادة سرعة الانطلاق تتزايد نتيجة للمعادلة ومن المعترف به عموماً أن سرعة الإطلاق أثناء الرمي هي المتغير الأكثر أهمية في تحديد مسافة الرمي.

ومن خلال ما تقدم يتضح أنه يمكن التنبؤ من خلال الزاوية ومسافة رمي القرص خلال لحظة العصر للاعب قذف القرص وذلك من خلال نموذج بيوميكانيكي احصائي لمسافة رمي القرص لتتبؤ بدلالة المساهم الأول السرعة الزاوية للكاحل الايسر، والمساهم الثاني العجلة الزاوية للمرفق الأيمن، والمساهم الثالث العجلة الزاوية للمرفق الايسر والمساهم الرابع العجلة الزاوية للكاحل الايسر، والمساهم الخامس العجلة الزاوية لليد اليمني. وبذلك تكون الباحثة قد توصلت الى النموذج الإحصائي لزاوية ومسافة رمي القرص خلال لحظة العصر بالجزء الثاني من فرض البحث.

### ٣ـ مناقشة نتائج: نموذج بيوميكانيكي احصائي مسافة الرمي خلال لحظة الرمي للاعب قذف القرص

يتضح من جدول (٦) الخاص بأعلى المعاملات الارتباط بين المتغيرات الميكانيكية ومسافة الرمي خلال لحظة الرمي أنه أشارت نتائج التحليل الاحصائي انحصر معاملات الارتباط ما بين (٠٠٨٦٨) كأكبر معامل ارتباط في السرعة الرئيسية للقدم اليمني ، (٠٠٦٦٨) كأقل معامل ارتباط في العجلة الأفقية للقدم اليمني، مما يشير الى أن أعلى معامل ارتباط ذو علاقة ارتباطيه طردية بين الزاوية للكتف الايمن ومسافة الرمي مسابقة قذف القرص، من (١٦) متغير من المؤشرات البيوميكانيكية ومسافة الرمي خلال لحظة الرمي الدالة على مستوى أداء مسابقة قذف القرص تم من خلالها التوصل الى المؤشرات الأعلى ارتباطا والتي سيتم تحديدها في الجدول (٧) أن المتغيرات الميكانيكية ومسافة الرمي خلال لحظة الرمي هي (٥) مؤشرات والتي كان دلالة ارتباطها ونسبة تأثير مساحتها كالتالي:

#### المؤشر الأول: السرعة الرئيسية للقدم اليمني

أظهرت نتائج جدول رقم (٦)، (٧) وشكل (١٢) أن السرعة الرئيسية للقدم اليمني أكثر المؤشرات مساعدة في مسافة الرمي لمهارة رمي القرص خلال لحظة الرمي حيث بلغت نسبة مساحتها (٧٤.٧٥٪)، وهذا يتفق مع نتائج جدول رقم (٦) الذي أثبت أن هناك علاقة ارتباطيه

طردية بين الزاوية للكتف اليمين ومسافة الرمي لمهارة رمي القرص حيث بلغت قيمة معامل الارتباط (٠.٨٦٨) ارتباط طردي قوي أي أنه كلما زادت السرعة الرأسية للقدم اليمني كلما زادت مسافة الرمي لمسابقة قذف القرص ، وترى الباحثة من خلال النتائج أن السرعة الرأسية للقدم اليمني جاءت في الترتيب الأول كأكثر عامل مساهم للمتغيرات البيوميكانيكية ارتباطا بمسافة قذف القرص وعليه فإنه يجب تدريب اللاعبين عند تصميم البرنامج التدريبي لتطوير القوة المميزة بالسرعة للرجلين بالإضافة إلى القوة العضلية لعضلات الطرف السفلي للاعب لضمان تحقيق نسبة مساهمته حيث إنه مؤشر له نسبة مساهمة في التتبؤ بالمستوى الرقمي لمسابقة قذف القرص بالإضافة إلى باقي المتغيرات الأكثر ارتباطا.

#### **المؤشر الثاني: محصلة السرعة للساعد الأيمن**

أظهرت نتائج جدولي رقم (٦)، (٧) وشكل (١٣) أن محصلة السرعة للساعد الأيمن ثانية أكثر المؤشرات مساهمة في مسافة الرمي لمهارة رمي القرص لحظة الرمي حيث رفعت نسبة مساهمتها (٨٤.٥٤٥٪)، وهذا يتفق مع نتائج جدول رقم (٦) الذي أثبت أن هناك علاقة ارتباطيه طردية بين محصلة السرعة للساعد الأيمن ومسافة الرمي لمهارة رمي القرص حيث بلغت قيمة معامل الارتباط (٠.٨٦٦) ارتباط طردي قوي أي أنه كلما زادت محصلة السرعة للساعد الأيمن كلما زاد مسافة الرمي، وترى الباحثة من خلال النتائج أن محصلة السرعة للساعد الأيمن جاءت في الترتيب الثاني كأكثر عامل مساهم للمتغيرات البيوميكانيكية ارتباطا بمسافة قذف القرص وعليه فإنه يجب تدريب اللاعبين عند تصميم البرنامج التدريبي لتطوير القوة المميزة بالسرعة للذراعين بالإضافة إلى القوة العضلية لعضلات الطرف العلوي للاعب لضمان تحقيق نسبة مساهمته حيث إنه مؤشر له نسبة مساهمة في التتبؤ بالمستوى الرقمي لمسابقة قذف القرص بالإضافة إلى باقي المتغيرات الأكثر ارتباطا.

#### **المؤشر الثالث: السرعة الرئيسية للفخذ الأيمن**

أظهرت نتائج جدولي رقم (٦)، (٧) وشكل (١٤) أن السرعة الرئيسية للفخذ الأيمن ثالثة أكثر المؤشرات مساهمة في مسافة الرمي لمهارة رمي القرص خلال لحظة الرمي حيث رفعت نسبة مساهمتها (٩٩.٦٠٪)، وهذا يتفق مع نتائج جدول رقم (٦) الذي أثبت أن هناك علاقة ارتباطيه طردية بين السرعة الرئيسية للفخذ الأيمن ومسافة الرمي لمهارة رمي القرص حيث بلغت قيمة معامل الارتباط (٠.٨٦١) ارتباط طردي قوي أي أنه كلما زادت السرعة الرئيسية للفخذ الأيمن كلما زادت مسافة الرمي، وترى الباحثة من خلال النتائج أن السرعة الرئيسية للفخذ الأيمن جاءت في الترتيب الثالث كأكثر عامل مساهم للمتغيرات البيوميكانيكية ارتباطا بمسافة قذف القرص وعليه فإنه يجب تدريب اللاعبين عند تصميم البرنامج التدريبي لتطوير القوة المميزة بالسرعة للرجلين بالإضافة إلى القوة العضلية لعضلات الطرف السفلي للاعب لضمان تحقيق نسبة مساهمته حيث إنه مؤشر له نسبة مساهمة في التتبؤ بالمستوى الرقمي لمسابقة قذف القرص بالإضافة إلى باقي المتغيرات الأكثر ارتباطا.

#### **المؤشر الرابع: السرعة الرئيسية للقدم اليسرى**

أظهرت نتائج جدولي رقم (٦)، (٧) وشكل (١٥) أن السرعة الرئيسية للقدم اليسرى رابع أكثر المؤشرات مساهمة في مسافة الرمي لمهارة رمي القرص خلال لحظة الرمي حيث رفعت نسبة مساهمتها (٩٩.٦٤٪)، وهذا يتفق مع نتائج جدول رقم (٦) الذي أثبت أن هناك

علاقة ارتباطية طردية بين السرعة الرأسية للقدم اليسرى ومسافة الرمي لمهارة رمي القرص حيث بلغت قيمة معامل الارتباط (٠٠٨٥٦) ارتباط طردي قوي أي أنه كلما زادت السرعة الرأسية للقدم اليسرى كلما زاد مسافة الرمي، وترى الباحثة من خلال النتائج أن السرعة الرأسية للقدم اليسرى جاءت في الترتيب الرابع كأكثر عامل مساهم للمتغيرات البيوميكانيكية ارتباطا بمسافة قذف القرص وعليه فإنه يجب تدريب اللاعبين عند تصميم البرنامج التدريبي لتطوير القوة المميزة بالسرعة بالإضافة إلى القوة العضلية لعضلات الطرف السفلي للاعب لضمان تحقيق نسبة مساهمته حيث إنه مؤشر له نسبة مساهمة في التنبؤ بالمستوى الرقمي لمسابقة قذف القرص بالإضافة إلى باقي المتغيرات الأكثر ارتباطا.

#### **المؤشر الخامس: العجلة العرضية للقدم الأيمن**

أظهرت نتائج جدول رقم (٦)، (٧) وشكل (١٦) أن العجلة العرضية للقدم الأيمن الخامس أكثر المؤشرات مساهمة في مسافة الرمي لمهارة رمي القرص خلال لحظة الرمي حيث رفعت نسبة مساهمتها (٩٩.٦٤٥٪ إلى ٩٩.٦٤٢٪)، وهذا يتفق مع نتائج جدول رقم (٦) الذي أثبت أن هناك علاقة ارتباطية عكسية بين العجلة العرضية للقدم الأيمن ومسافة الرمي لمهارة رمي القرص حيث بلغت قيمة معامل الارتباط (-٠٠٨٢١) ارتباط عكسي قوي أي أنه كلما قلت العجلة العرضية للقدم الأيمن كلما زاد مسافة الرمي، وترى الباحثة من خلال النتائج أن العجلة العرضية للقدم الأيمن جاءت في الترتيب الخامس كأكثر عامل مساهم للمتغيرات البيوميكانيكية ارتباطا بمسافة قذف القرص وعليه فإنه يجب تدريب اللاعبين عند تصميم البرنامج التدريبي لتطوير القوة العضلية لعضلات الطرف السفلي للاعب لضمان تحقيق نسبة مساهمته حيث إنه مؤشر له نسبة مساهمة في التنبؤ بالمستوى الرقمي لمسابقة قذف القرص بالإضافة إلى باقي المتغيرات الأكثر ارتباطا.

ومما تقدم من نتائج جدول رقم (٦)، (٧) وأشكال (١٦ إلى ١٢) تتفق تلك النتائج مع ما اشار اليه عصام أبو جمبل (٢٠١٥) أنه لتحقيق فهم أعمق لفعاليات الرمي لابد من تجزئتها إلى عناصرها الأساسية المكونة لها والبحث في هذه العناصر بشكل منفرد وذلك بهدف الحصول على انساب المسارات الحركية لتحسين التكنيك المرتبط بالمتغيرات البيوميكانيكية الأساسية كعزم القصور الذاتي، وكمية الحركة المتحققة للجسم أثناء الحركة، والقوة والسرعة، والتي لها علاقة مباشرة بالأداء الحركي لأجزاء جسم اللاعب والمناسبة لنوع الرياضة الممارسة. (٤٦:١٣)

ويرى عبد الرحمن زاهر (٢٠٠١) أنه تتوقف مسافة الرمي في مسابقات الرمي على الأسس السرعة الابتدائية للأداء وذلك لحظة الانطلاق وزاوية الانطلاق وارتفاع مستوى انطلاق

الأداة ومقاومة الوسط المحيط وزاوية هجوم الأداة وتصميم وشكل الأداة المقذوفة. والتوافق الزمني بين الحركات التمهيدية وإطلاق القذيفة وإن الحركات التمهيدية التي تسبق الدفع أو الرمي تشكل عاملًا مساعدًا في زيادة القوة الدافعة ولا يمكن أن يتحقق هذا المبدأ إلا إذا أمكن تحقيق التوافق الزمني بين الحركات التمهيدية ومرحلة الانطلاق. (١٢: ١٧)

وتوصلت دراسة مارلين (Marilyn ٢٠٠٥) (٢٩) أن التحليل الحركي هو السبيل الأقرب لتحقيق أهداف التدريب في أقصر زمن وأقل جهد وتكليف وفهم حركة الرياضي بدقة، ويتيح للمدرب معرفة نقاط القوة والضعف للاعبين وإرشاده إلى إعداد برامج تدريبية مبنية على أساس علمية. وتوصل سونج وأخرون (Song, et al. ٢٠٠٦) (٣١) أن كلما كان التكامل أكبر بمعنى كلما كانت المساحة تحت منحنى القوة مع الزمن أكبر، كلما كانت كمية الدفع أكبر، كما يراعى إلا تكون حركة الثني (الحركة التمهيدية) أكثر من اللازم.

ومن خلال ما تقدم يتضح أنه يمكن التنبؤ بمسافة الرمي خلال لحظة الرمي للاعب قبل قذف القرص وذلك من خلال نموذج بيوميكانيكي احصائي لمسافة رمي القرص لتتبؤ بدلالة المساهم الأول السرعة الرئيسية للقدم اليمنى، والممساهم الثاني محصلة السرعة للساعد الأيمن، والممساهم الثالث السرعة الرئيسية للفخذ الأيمن، والممساهم الرابع السرعة الرئيسية للقدم اليسرى، والممساهم الخامس العجلة العرضية للقدم الأيمن. وبذلك تكون الباحثة قد توصلت إلى النموذج الإحصائي لمسافة الرمي خلال لحظة الرمي بالجزء الثالث من فرض البحث.

#### ٤-مناقشة نتائج: نموذج بيوميكانيكي احصائي الزاوية ومسافة الرمي خلال لحظة الرمي للاعب قبل قذف القرص

يتضح من جدول (٨) الخاص بأعلى المعاملات الارتباط بين المتغيرات الزاوية ومسافة الرمي خلال لحظة الرمي أنه أشارت نتائج التحليل الاحصائي انحصر معاملات الارتباط ما بين (٠٠.٨٣٩) كأكبر معامل ارتباط في زاوية الكاحل الأيمن ، (٠.٦٦٦- ) كأقل معامل ارتباط في العجلة الزاوية لليد اليسرى ، مما يشير إلى أن أعلى معامل ارتباط ذو علاقة ارتباطيه طردية بين زاوية الكاحل اليمين ومسافة الرمي لمسابقة قذف القرص، من (٩) متغيرات من المؤشرات الزاوية ومسافة الرمي خلال لحظة الرمي الدالة على مستوى أداء مسابقة قذف القرص تم من خلالها التوصل إلى المؤشرات الأعلى ارتباطا والتي سيتم تحديدها في الجدول (٩) أن المتغيرات الزاوية ومسافة الرمي خلال لحظة الرمي هي (٥) مؤشرات والتي كان دلالة ارتباطها ونسبة تأثير مساحتها كالتالي:

**المؤشر الأول: زاوية الكاحل الأيمن**

أظهرت نتائج جدول رقم (٨)، (٩) وشكل (١٧) أن زاوية الكاحل الأيمن أكثر المؤشرات مساهمة في مسافة الرمي لمهارة رمي القرص خلال لحظة الرمي حيث بلغت نسبة مساهمتها (٨١.٥٨٩٪)، وهذا يتفق مع نتائج جدول رقم (٨) الذي أثبت أن هناك علاقة ارتباطية طردية بين زاوية الكاحل الأيمن ومسافة الرمي لمهارة رمي القرص حيث بلغت قيمة معامل الارتباط (-٠.٨٣٩) ارتباط طردي قوي أي أنه كلما زادت زاوية الكاحل الأيمن كلما زادت مسافة الرمي لمهارة رمي القرص، وترى الباحثة من خلال النتائج أن زاوية الكاحل الأيمن جاءت في الترتيب الأول كأكثـر عـامل مـسـاـهـمـةـ لـلـمـعـيـغـرـاتـ الـبـيـوـمـيـكـانـيـكـةـ اـرـتـبـاطـاـ بـمـسـافـةـ قـذـفـ الـقـرـصـ وـعـلـيـةـ فإـنـهـ يـجـبـ تـدـريـبـ الـلـاعـبـينـ عـنـدـ تـصـمـيمـ الـبـرـنـامـجـ التـدـريـيـ لـتـعـدـيلـ الـأـدـاءـ الـفـنـيـ لـلـكـاحـلـ لـلـاعـبـ لـضـمانـ تـحـقـيقـ نـسـبةـ مـسـاـهـمـتـهـ حـيـثـ إـنـهـ مـؤـشـرـ لـهـ نـسـبةـ مـسـاـهـمـةـ فـيـ التـبـؤـ بـالـمـسـتـوـيـ الـرـقـمـيـ لـمـسـابـقـةـ قـذـفـ الـقـرـصـ بـإـضـافـةـ إـلـىـ باـقـيـ الـمـعـيـغـرـاتـ الـأـكـثـرـ اـرـتـبـاطـاـ.

**المؤشر الثاني: زاوية اليد اليمني**

أظهرت نتائج جدول رقم (٨)، (٩) وشكل (١٨) أن زاوية اليد اليمني ثانـيـ أـكـثـرـ مـسـاـهـمـاتـ لـلـمـهـارـةـ الـرـمـيـ لـمـهـارـةـ رـمـيـ الـقـرـصـ خـلـالـ لـحظـةـ انـطـلـاقـ الـقـرـصـ حـيـثـ رـفـعـتـ نـسـبةـ مـسـاـهـمـتـهـ (٨١.٥٨٩٪ إـلـىـ ٩٤.٩٪)، وهذا يتفق مع نتائج جدول رقم (٨) الذي أثبت أن هناك علاقة ارتباطية طردية بين زاوية اليد اليمني ومسافة الرمي لمهارة رمي القرص حيث بلغت قيمة معامل الارتباط (-٠.٨١٨) ارتباط عكسي قوي أي أنه كلما قلت زاوية اليد اليمني كلما زاد مسافة الرمي، وتـرىـ الـبـاحـثـةـ منـ خـلـالـ النـتـائـجـ أـنـ زـاوـيـةـ الـيـدـ الـيـمـنـيـ جـاءـتـ فـيـ التـرـتـيبـ الثـانـيـ كـأـكـثـرـ عـاملـ مـسـاـهـمـةـ لـلـمـعـيـغـرـاتـ الـبـيـوـمـيـكـانـيـكـةـ اـرـتـبـاطـاـ بـمـسـافـةـ قـذـفـ الـقـرـصـ وـعـلـيـةـ فإـنـهـ يـجـبـ تـدـريـبـ الـلـاعـبـينـ عـنـدـ تـصـمـيمـ الـبـرـنـامـجـ التـدـريـيـ لـتـعـدـيلـ الـأـدـاءـ الـفـنـيـ لـلـيـدـ الـيـمـنـيـ لـلـاعـبـ لـضـمانـ تـحـقـيقـ نـسـبةـ مـسـاـهـمـتـهـ حـيـثـ إـنـهـ مـؤـشـرـ لـهـ نـسـبةـ مـسـاـهـمـةـ فـيـ التـبـؤـ بـالـمـسـتـوـيـ الـرـقـمـيـ لـمـسـابـقـةـ قـذـفـ الـقـرـصـ بـإـضـافـةـ إـلـىـ باـقـيـ الـمـعـيـغـرـاتـ الـأـكـثـرـ اـرـتـبـاطـاـ.

**المؤشر الثالث: زاوية اليد اليسرى**

أظهرت نتائج جدول رقم (٨)، (٩) وشكل (١٩) أن زاوية اليد اليسرى ثالـثـ أـكـثـرـ مـؤـشـراتـ مـسـاـهـمـاتـ لـلـمـهـارـةـ الـرـمـيـ لـمـهـارـةـ رـمـيـ الـقـرـصـ خـلـالـ لـحظـةـ انـطـلـاقـ الـقـرـصـ حـيـثـ رـفـعـتـ نـسـبةـ مـسـاـهـمـتـهـ (٩٤.٣٢٧٪ إـلـىـ ٩٩.٦٪)، وهذا يتفق مع نتائج جدول رقم (٨) الذي أثبت أن هناك علاقة ارتباطية عكسيـهـ بـيـنـ زـاوـيـةـ الـيـدـ الـيـسـرـىـ وـمـسـافـةـ الرـمـيـ لـمـهـارـةـ رـمـيـ الـقـرـصـ حـيـثـ بلـغـتـ قـيـمةـ مـعـاـلـمـ الـارـتـبـاطـ (-٠.٨١٢) اـرـتـبـاطـ عـكـسـيـ قـويـ أيـ أنهـ كلـماـ قـلـتـ زـاوـيـةـ الـيـدـ الـيـسـرـىـ كـلـماـ زـادـتـ

مسافة الرمي، وترى الباحثة من خلال النتائج أن زاوية اليد اليسرى جاءت في الترتيب الثالث كأكثر عامل مساهم للمتغيرات البيوميكانيكية ارتباطا بمسافة قذف القرص وعليه فإنه يجب تدريب اللاعبين مهاريا عند تصميم البرنامج التدريسي لتعديل الأداء الفني لليد اليسرى للاعب لضمان تحقيق نسبة مساهمته حيث إنه مؤشر له نسبة مساهمة في التنبؤ بالمستوى الرقمي لمسابقة قذف القرص بالإضافة إلى باقي المتغيرات الأكثر ارتباطا.

#### **المؤشر الرابع: السرعة الزاوية لليد اليسرى**

أظهرت نتائج جدول رقم (٨)، (٩) وشكل (٢٠) أن السرعة الزاوية لليد اليسرى رابع أكثر المؤشرات مساهمة في مسافة الرمي لمهارة رمي القرص خلال لحظة انطلاق القرص حيث رفعت نسبة مساهمتها (٩٩.٤٥٤ % إلى ٩٩.٣٢٧ %)، وهذا يتفق مع نتائج جدول رقم (٨) الذي أثبت أن هناك علاقة ارتباطية عكسية بين السرعة الزاوية لليد اليسرى ومسافة الرمي لمهارة رمي القرص حيث بلغت قيمة معامل الارتباط (-٠.٨١١) ارتباط عكسي قوي أي أنه كلما قلت السرعة الزاوية لليد اليسرى كلما زاد مسافة الرمي، وترى الباحثة من خلال النتائج أن السرعة الزاوية لليد اليسرى جاءت في الترتيب الرابع كأكثر عامل مساهم للمتغيرات البيوميكانيكية ارتباطا بمسافة قذف القرص وعليه فإنه يجب تدريب اللاعبين عند تصميم البرنامج التدريسي لتطوير القوة المميزة بالسرعة والقوة العضلية لعضلات اليد اليسرى للاعب لضمان تحقيق نسبة مساهمته حيث إنه مؤشر له نسبة مساهمة في التنبؤ بالمستوى الرقمي لمسابقة قذف القرص بالإضافة إلى باقي المتغيرات الأكثر ارتباطا.

#### **المؤشر الخامس: زاوية الفخذ اليسير**

أظهرت نتائج جدول رقم (٨)، (٩) وشكل (٢١) أن زاوية الفخذ اليسير الخامس أكثر المؤشرات مساهمة في مسافة الرمي لمهارة رمي القرص خلال لحظة انطلاق القرص حيث رفعت نسبة مساهمتها (٩٩.٤٥٤ % إلى ٩٩.٦٤ %)، وهذا يتفق مع نتائج جدول رقم (٨) الذي أثبت أن هناك علاقة ارتباطية عكسية بين زاوية الفخذ اليسير ومسافة الرمي لمهارة رمي القرص حيث بلغت قيمة معامل الارتباط (-٠.٨٠٩) ارتباط عكسي قوي أي أنه كلما قلت زاوية الفخذ اليسير كلما زاد مسافة الرمي، وترى الباحثة من خلال النتائج أن زاوية الفخذ اليسير جاءت في الترتيب الخامس كأكثر عامل مساهم للمتغيرات البيوميكانيكية ارتباطا بمسافة قذف القرص وعليه فإنه يجب تدريب اللاعبين مهاريا عند تصميم البرنامج التدريسي لتعديل الأداء الفني للفخذ اليسير للاعب لضمان تحقيق نسبة مساهمته حيث إنه مؤشر له نسبة مساهمة في التنبؤ بالمستوى الرقمي لمسابقة قذف القرص بالإضافة إلى باقي المتغيرات الأكثر ارتباطا.

ومما تقدم من نتائج جدول رقم (٨)، (٩) وأشكال (١٧ إلى ٢١) تتفق تلك النتائج مع دراسة حسين وباري Hussain, & Bari, (٢٠١٢) (٢٥) إلى وجود علاقة ارتباط ذات دلالة إحصائية بين مسافة الرمي وزاوية القذف، كما توصلت إلى عدم وجود علاقة ارتباط ذات دلالة إحصائية بين مسافة الرمي وزاوية القذف، وارتفاع نقطة القذف عن الأرض لحظة القذف، وأظهرت نتائج دراسة باديورا Badura (٢٠١٠) (٢٠) إلى وجود علاقة ارتباط أو علاقة ذات دلالة إحصائية بين سرعة قذف الأداة ومسافة الرمي، كما توصلت دراسة أيمن محروس ومحمد ذكروري (٢٠٠٨) (٤) من خلال التعرف على أهم الخصائص الكينماتيكية لمرحلة التخلص لمسابقات الرمي كمحدد لتحسين المستوى الرقمي إلى التركيز على دور مفصل الرسغ في توجيه الأداة داخل مقطع الرمي، ومرحلة التخلص تعتبر المحصلة النهائية في تحديد مسافة الرمي. ويشير سمير الهاشمي (٢٠١٠) أن المسافة التي يقطعها القرص تتأثر بشكل كبير بالسرعة التي ينطلق بها كذلك الزاوية (٢٣٠ : ٧)

ومن خلال ما تقدم وما توصلت إليه الباحثة من نتائج يتضح أن المؤشرات البيوميكانيكية يمكن ان يبني على اساسها نموذج بيوميكانيكي احصائي لزاوية ومسافة الرمي خلال لحظة الرمي للاعب قذف القرص التعرف على فاعلية تقدم مستوى اللاعب لمسافة رمي القرص لتتبؤ بدلاة المساهم الأول زاوية الكاحل الأيمن، والمساهم الثاني زاوية اليد اليمنى، والمساهم الثالث زاوية اليد اليسرى، والمساهم الرابع السرعة الزاوية لليد اليسرى، والمساهم الخامس زاوية الفخذ اليسير. وبذلك تكون الباحثة قد توصلت إلى النموذج الإحصائي لزاوية ومسافة الرمي خلال لحظة الرمي بالجزء الرابع من فرض البحث.

ومما تقدم من نتائج (جدول ٢ إلى جدول ٩) يتضح انها تتفق مع ما أشار اليه صريح الفضيلي (٢٠١٠)، محمد بريقع وخريطة السكري (٢٠٠٢) أن التحليل البيوميكانيكي يعتبر حجر الأساس لتحسين اللاعبين في أدائهم الحركي حيث اسهم في حدوث التقدم الملحوظ في الإنجاز الرياضي من خلال إيجاد الحلول الحركية الناتجة عن الاستغلال الجيد لقوى اللاعب الذاتية وما يرتبط بذلك من قوى خارجية تؤثر وبشكل مباشر في الحركة، ولهذا فان التحليل الحركي يعد من اكثر الموازين صدقاً في التقويم والتوجيه ومن أهم المتطلبات الأساسية للعمل التدريسي هو إجراء تحليل وتقويم الأداء الفردي والجماعي لتشخيص ومعالجة الأخطاء التي تحدث نتيجة تعدد حالات وظروف اللعب المتنوعة والتعقيدات التي ترافق الأداء نفسه والتي تظهر في أثناء الأداء الفعلي للمنافسات. (٩ : ٢٧ - ٢٢)، (١٤ : ٢٣)

وأن ما توصلت إليه من نتائج خاصة بالنموذج البيوميكانيكي الإحصائي للاعب قذف القرص تتفق مع ما أشارت إليه العديد من الدراسات العلمية في مسابقات الرمي وذلك كدراسة ميدا وأخرون al Maeda et. (٢٠١٨) (٢٨)، مدحت سالم. (٢٠١٨) (١٥)، خالد عطيات وأخرون (٢٠١٨) (٦) حيث توصلت إلى أن زاوية وسرعة اطلاق أداة الرمي من أهم مكونات النموذج الينماتيكي الهرمي لهذه الفعاليات ، والتوصل إلى ثلات معادلات تتبعاً بمسافة الإنجاز لهذه الفعاليات، وتوصل Osama Abdelfattah (٢٠١٤) (٢) إلى ثلات معادلات لتتبؤ بمسافة الإنجاز لفاعليات الرمي في ألعاب القوى ، وتوصل Glazier، وRobins، & Glazier، & Robins، (٢٠١٢) (٢٣) جمال محمد (٢٠١٢) (٥)، طارق علاء الدين (٢٠٠٥) (١٠) توصلت إلى أن النموذج النظري البيوميكانيكي يتبع بقيمة الإنجاز في ظروف مثالية، وبناء عليه يستفاد منهم في عملية الانتقاء والتدريب للأنشطة المختلفة.

ومما تقدم فإن النموذج الإحصائي الذي توصلت إليه الباحثة لتتبؤ بالمستوى الرقمي يساهم في التنبؤ بمسافة الرمي خلال التدريب قبل المنافسة وكذلك لانتقاء أفضل اللاعبين، هذا بالإضافة إلى استخدام ما توصلت إليه الباحثة للاقتصاد في التدريب بتوجيهه بناء البرنامج التدريب إلى المؤشرات التي توصلت إليها لتحقيق لضمان التوصل إلى نسبة مساهمتها في المستوى الرقمي للاعب مسابقة قذف القرص. ومما تقدم تكون الباحثة قد توصلت إلى تحقيق فرض البحث الرئيسي الذي ينص على "يمكن التوصل إلى نموذج إحصائي للمتغيرات البيوميكانية المساهمة في التنبؤ بمستوى أداء متسابقي قذف القرص"

#### الاستنتاجات والتوصيات

#### استنتاجات البحث

في ضوء أهداف وواقع البيانات التي تجمعت لدى الباحثة للدلالة الإحصائية للمؤشرات البيوميكانية لمتسابقي قذف القرص عينة البحث أمكن التوصل إلى الاستنتاجات التالية:

١. الدلالة الإحصائية للمؤشرات البيوميكانية المساهمة في التنبؤ بمستوى أداء متسابقي قذف القرص بدلالة المؤشرات البيوميكانية للحظات (مسافة رمي القرص خلال لحظة العصر- الزاوية ومسافة رمي القرص خلال لحظة العصر-مسافة الرمي خلال لحظة الرمي-الزاوية ومسافة الرمي خلال لحظة الرمي).
٢. التوصل إلى (٥) معادلات تنبؤية لنموذج بيوميكانيكي إحصائي لمسافة رمي القرص خلال لحظة العصر لمتسابقي قذف القرص وذلك بالنسبة للمؤشرات التالية:

المؤشر الأول: الإزاحة الرئيسية للعضد الأيسر وكانت المعادلة التنبؤية =  $+0.0018 + 0.03 \times 1.496 - 0.039.666 = 26.503$  متر

المؤشر الثاني: السرعة الرئيسية لمركز ثقل الجذع الأيمن وكانت المعادلة التنبؤية =  $+0.0020 + 0.01496 \times 1.496 + 0.025.227 \times 2.139 - 0.020.666 = 0.039.666$  متر.

المؤشر الثالث: العجلة العرضية لمركز ثقل الفخذ الأيمن وكانت المعادلة التنبؤية =  $+0.0021 + 0.01496 \times 1.496 + 0.025.272 \times 2.139 - 0.020.864 \times 2.139 - 0.0001 \times 9.379 = 0.0001$  متر.

المؤشر الرابع: العجلة الرئيسية لمركز ثقل الساق الأيمن وكانت المعادلة التنبؤية =  $+0.0021 + 0.01496 \times 1.496 + 0.023.623 \times 2.139 - 0.020.002 \times 2.139 - 0.0072 \times 9.379 - 0.0002 \times 4.908 = 0.0132$  متر

المؤشر الخامس: السرعة العرضية لمركز ثقل الفخذ الأيمن بمعادلة خط الانحدار التنبؤية  $= 0.0022 + 0.01496 \times 1.496 + 0.023.622 \times 2.139 - 0.020.489 \times 2.139 - 0.0078 \times 9.379 - 0.0002 \times 4.908 - 0.0001 \times 1.78 - 0.0001 \times 1.73 - 0.0001 \times 0.546 = 0.0164$  متر

٣. التوصل الى (٥) معادلات تنبؤية لنموذج بيوميكانيكي احصائي لزاوية ومسافة رمي القرص خلال لحظة العصر لمتسابقي قذف القرص وذلك بالنسبة للمؤشرات التالية:

المؤشر الأول: السرعة الزاوية للكاحل الايسر وكانت المعادلة التنبؤية =  $+0.039.666 + 0.016 = 0.0216.852$

المؤشر الثاني: العجلة الزاوية للمرفق الأيمن وكانت المعادلة التنبؤية =  $+0.0125 - 0.0002 \times 5488.931 = 0.0002$  متر

المؤشر الثالث: العجلة الزاوية للمرفق الايسر وكانت المعادلة التنبؤية =  $+0.00054 - 0.0004 \times 5488.931 + 0.0003 \times 1707.682 = 0.0003$  متر

المؤشر الرابع: العجلة الزاوية للكاحل الايسر وكانت المعادلة التنبؤية =  $+0.00081 - 0.0003 \times 5488.931 + 0.0002 \times 1707.682 - 0.0001 \times 4681.503 = 0.0001$  متر

المؤشر الخامس: العجلة الزاوية لليد اليمني وكانت المعادلة التنبؤية =  $+0.00064 - 0.0004 \times 5488.931 + 0.0002 \times 1707.682 - 0.0001 \times 4681.503 + 0.0001 \times 3522.482 = 0.0001$  متر

٤. التوصل الى (٥) معادلات تنبؤية لنموذج بيوميكانيكي احصائي لمسافة الرمي خلال لحظة الرمي متتسابقي قذف القرص وذلك بالنسبة للمؤشرات التالية:

المؤشر الأول: السرعة الرئيسية للقدم اليمني وكانت المعادلة التنبؤية =  $39.571 + 0.013 \times 0.013 - 0.666 \times 0.666 = 0.126$

المؤشر الثاني: محصلة السرعة لساعد الأيمن وكانت المعادلة التنبؤية =  $0.057 + 0.013 \times 0.013 - 0.089 \times 0.089 = 0.54 \times 11.128 = 3.054$  متر.

المؤشر الثالث: السرعة الرئيسية للفخذ الأيمن وكانت المعادلة التنبؤية =  $0.026 + 0.013 \times 0.013 - 0.666 \times 0.666 = 0.144 \times 3.0512 = 0.264$  متر

المؤشر الرابع: السرعة الرئيسية للقدم اليسرى وكانت المعادلة التنبؤية =  $0.025 + 0.013 \times 0.013 - 0.666 \times 0.666 = 0.146 \times 11.128 = 0.267$  متر

المؤشر الخامس: العجلة العرضية للقدم الأيمن وكانت المعادلة التنبؤية =  $0.026 + 0.013 \times 0.013 - 0.666 \times 0.666 = 0.147 \times 11.128 = 0.274$  متر

٥. التوصل إلى (٥) معادلات تنبؤية لنموذج بيوميكانيكي احصائي لزاوية ومسافة الرمي خلال لحظة الرمي لمتسابقي قذف القرص وذلك بالنسبة للمؤشرات التالية:

المؤشر الأول: زاوية الكاحل الأيمن وكانت المعادلة التنبؤية =  $0.25 + 0.354 \times 111.909 = 0.3966$  متر

المؤشر الثاني: زاوية اليد اليمني وكانت المعادلة التنبؤية =  $0.09 + 0.309 \times 111.909 = 0.03966 = 0.03$  متر

المؤشر الثالث: زاوية اليد اليسرى وكانت المعادلة التنبؤية =  $0.07 + 0.322 \times 111.909 = 0.04016 = 0.04$  متر

المؤشر الرابع: السرعة الزاوية لليد اليسرى وكانت المعادلة التنبؤية =  $0.05 + 0.005 \times 111.909 = 0.0272$  متر

المؤشر الخامس: زاوية الفخذ اليسير وكانت المعادلة التنبؤية =  $0.00 + 0.284 \times 111.909 = 0.0874$  متر

٦. تم استخراج (٢٠) معادلة تنبؤية لمسافة الرمي لمسابقة قذف القرص لمجموعة من المتغيرات البيوميكانية الأكثر ارتباطاً تصلح كمؤشرات للتنبؤ بمستوى الإنجاز الرقمي لمسافة قذف القرص.

توصيات البحث:

انطلاقاً من الاستنتاجات التي تم التوصل إليها توصى الباحثة بما يلي:

١. ضرورة استخدام المعادلات التنبؤية لنماذج الإحصائية البيوميكانيكية (٢٠) التي توصلت إليها الباحثة لتعرف تطور أداء اللاعبين في أداء مسابقة قذف القرص.
٢. ضرورة استخدام المعادلات التنبؤية في الاستفادة منها في عملية الانتقاء والتدريب للاعب قذف القرص.
٣. الاستفادة من نتائج البحث عند وضع البرامج التدريبية النوعية من خلال المحددات البيوميكانيكية الفعالة المستخلصة من تأثيرها على مستوى أداء مسابقة قذف القرص.
٤. اعتماد على مبدأ الاقتصادية في العملية التدريبية فإنه يجب الاكتفاء بتلك المحددات البيوميكانيكية ومؤشراتها من خلال ما أفرزته المعادلات التنبؤية المستخلصة من نتائج البحث، والتي كانت أكثر مساهمة لمساعدة المدربين عند بناء الوحدة التدريبية.
٥. ضرورة الاهتمام بتدريب اللاعبين على زيادة سرعة الدفع وزاوية الجسم أثناء مرحلة الرمي لقذف القرص.
٦. ضرورة تأهيل المدربين بدراسة الميكانيكا الحيوية ووسائلها المختلفة لإمكانية تطوير الأداء الحركي لمنتسابقي قذف القرص.

المرجع:

أولاً: المراجع العربية:

١. إبراهيم إبراهيم محمد عطا (٢٠١٨). الأسس النظرية والعملية لمسابقات الميدان والمضمار (تعليم - تكنولوجيا - تدريب - قانون)، ج ١، مركز الكتاب الحديث، القاهرة.
٢. أسامة محمود شريف عبد الفتاح (٢٠١٤). نموذج بيوميكانيك . إحصائي مقترن للتنبؤ بمسافة الإنجاز لفاعليات الرمي في ألعاب القوى، رسالة دكتوراه غير منشورة، الجامعة الأردنية.
٣. آية محمد السيد طه خليفة. (٢٠٢١). نموذج بيوميكانيكي إحصائي للاعب دفع الجلة، رسالة دكتوراه، غير منشورة، كلية التربية الرياضية، جامعة طنطا
٤. أيمن محروس، ومحمد ذكروري (٢٠٠٨). الخصائص الكينماتيكية لمرحلة التخلص في بعض مسابقات الرمي (دراسة مقارنة)، المؤتمر الرابع للمجلس الدولي للصحة والتربية البدنية والترويح والرياضة والتعبير الحركي لمنطقة الشرق الأوسط
٥. جمال محمد محمد (٢٠١٢). تصميم نموذج نظري بيوميكانيكي للتتبؤ بالإنجاز الأفضل في

فعالية قذف القرص، رسالة ماجستير غير منشورة، جامعة القادسية، الديوانية، العراق.

٦. خالد محمد عطيات، عربي المغربي، أسامة عبد الفتاح (٢٠١٨). نموذج بيوميكانيكي إحصائي وهرمي لفاعليات الرمي في ألعاب القوى، مجلة العلوم التربوية الجامعية الأردنية، المجلد ٤٥، العدد ٤، ملحق ٢.
٧. سمير مسلط الهاشمي (٢٠١٠). البايوميكانيك الرياضي، ط٣. النبراس للطباعة ، بغداد
٨. صدقى احمد سلام (٢٠١٤). ألعاب القوى مسابقات الميدان وثب ورمي ومتعلقاتهما، مركز الكتاب الحديث، القاهرة.
٩. صريح عبد الكريم الفضلى (٢٠١٠). تطبيقات البيوميكانيك في التدريب الرياضي والأداء الحركي، دار الدجلة، القاهرة.
١٠. طارق جمال علاء الدين (٢٠٠٥). نموذج بيوميكانيكي - إحصائي للدفع بالرجلين في الأداء الرياضي، رسالة دكتوراه غير منشورة، كلية التربية الرياضية بنين، جامعة الإسكندرية.
١١. عادل عبد البصیر وإيهاب عادل عبد البصیر (٢٠٠٧). التحليل البايوميكانيكي والتكامل بين النظرية والتطبيق في المجال الرياضي، المكتبة المصرية، القاهرة.
١٢. عبد الرحمن عبد الحميد زاهر (٢٠٠١). موسوعة فسيولوجيا مسابقات الرمي، مركز الكتاب للنشر ، القاهرة
١٣. عصام أحمد حلمى أبو جمیل (٢٠١٥). التدريب الرياضي في الأنشطة الرياضية، مركز الكتاب الحديث، القاهرة.
١٤. محمد جابر بريقع، خيرية إبراهيم السكري (٢٠٠٢). المبادئ الأساسية للميكانيكا الحيوية في المجال الرياضي، ج ١، منشأة المعارف، الإسكندرية.
١٥. مدحت عبد الحميد السيد سالم. (٢٠١٨). التحليل البايوميكانيكي ثلاثي الأبعاد لتكنيك أداء رمي القرص- دراسة حالة. مجلة بحوث التربية الشاملة، كلية التربية الرياضية
- للبنات- جامعة الزقازيق، (الثاني للنصف الاول) ، ٤، ٥٤-٧٧.
١٦. معتز محمد نجيب السيد العريان (٢٠١٠). نموذج بايوميكانيكي للاعبين المستويات العليا للوثب الطويل، رسالة ماجستير غير منشورة، كلية التربية الرياضية جامعة طنطا.
١٧. هشام هنداوى هويدى ومشتاق عبد الرضى ماشى (٢٠١٥). العلاقة السببية في بناء نموذج لبعض المتغيرات البايوكونيماتيكية المساهمة في أداء الضربة الأرضية الخلفية

بالتنس، مجلة القادسية لعلوم التربية الرياضية، المجلد ١٥.

أولاً: المراجع الأجنبية:

١٨. Aleksić Veljković et al (٢٠١١). COMPARATIVE KINEMATIC ANALYSIS OF RELEASE OF THE BEST SERBIAN SHOT PUTTERS Series: Physical Education and Sport Vol. ٩, No ٤, Special Issue, PP. ٣٥٩ – ٣٦٤.
١٩. Ariel, G., Penny, A., Probe, J., & Finch, A. (٢٠٠٥). Biomechanical analysis of the shot-put event at the ٢٠٠٤ Athens Olympic Games. In ISBS-Conference Proceedings Archive.
٢٠. Badura, M. (٢٠١٠). Biomechanical analysis of the discus at the ٢٠٠٩ IAAF world championships in athletics. New Stud Athl, ٢٥ (٣/٤), ٢٣-٣٥.
٢١. Chiu, C. H. (٢٠٠٨). Estimating the Optimal Release Conditions for World Record Holders in Discus. International Journal of Sport and Exercise Science, ١(١), ١٤
٢٢. Coh, M., & Stuhec, S. (٢٠٠٥). ٣-D kinematic analysis of the rotational shot-put technique. New studies in Athletics, ٢٠(٣), ٥٧.
٢٣. Glazier, P. S., & Robins, M. T. (٢٠١٢). Comment on “Use of deterministic models in sports and exercise biomechanics research” by Chow and Knudson (٢٠١١). Sports biomechanics, ١١(١), ١٢٠-١٢٢.
٢٤. Hubbard, M., & Cheng, K. B. (٢٠٠٧). Optimal discus trajectories. Journal of Biomechanics, ٤٠(١٦), ٣٦٥٠-٣٦٥٩.
٢٥. Hussain, I. & Bari, M. A. (٢٠١٢). Javelin throwing technique: A biomechanical study. Computer Engineering and Intelligent Systems, ٣(١), ٢٠-٢٤.
٢٦. Leigh, S., Gross, M. T., Li, L., & Yu, B. (٢٠٠٨). The relationship between discus throwing performance and combinations of selected technical parameters. Sports Biomechanics, ٧(٢), ١٧٣-١٩٣.
٢٧. Leigh, S., Liu, H., Hubbard, M., & Yu, B. (٢٠١٠). Individualized optimal release angles in discus throwing. Journal of biomechanics, ٤٣(٣), ٥٤٠-٥٤٥
٢٨. Maeda, K., Ohyama, K. B., Mizushima, J., Yamamoto, D., Hirose, K., Kajitani, R., & Ogata, M. (٢٠١٨). COMPARISON OF WORLD ELITE AND JAPANESE ELITE THROWERS IN THE DISCUS THROW. ISBS Proceedings Archive, ٣٦(١), ٥٦٢.
٢٩. Marilyn Louise Coleman (٢٠٠٥). INSTRUCTION OF

THROWING EVENTS IN TRACK AND FIELD: AN HISTORICAL ANALYSIS. Master, Faculty of New Jersey Institute of Technology

٣٠. Nemtsev, O. (٢٠١١). Comparison of kinematic characteristics between standing and rotational discus throws. In ISBS-Conference Proceedings Archive.
٣١. Song, G., Yuan, H., Tang, Y., Song, Q., & Ge, Y. (٢٠٠٦). A novel three-axis force sensor for advanced training of shot-put athletes. Sensors and Actuators A: Physical, ١٢٨(١), ٦٠-٦٥.
٣٢. Tešanović, G., Mihajlović, I., Bošnjak, G., & Dragosavljević, P. (٢٠١٠). Relations between the body mass index and the anthropometric dimensions and the results achieved in shot put. Acta Kinesiologica, ٤(٢), ٧٨-٨٢.
٣٣. Vodičková, S. (٢٠٠٣). THE STUDY OF THE BODY'S CENTER OF GRAVITY IN shot-putters. Acta Universitatis Palackianae Olomucensis. Gymnica, ٣٣(٢).
٣٤. Yu, B., Broker, J., & Silvester, L. J. (٢٠٠٤). Athletics: A kinetic analysis of discus-throwing techniques. Sports Biomechanics, ١(١), ٢٥-٤٥.

## ملخص البحث

## نموذج بيوميكانيكي إحصائي للاعبين قذف القرص

إيثار صبحي فتحي شامه (\*)

شيماء حسنين عبد المنعم حسنين (\*)

تهدف الدراسة إلى التعرف على النموذج البيوميكانيكي لتتبؤ بأحسن مستوى رقمي لأداء للاعبين قذف القرص استناداً على المتغيرات البيوميكانيكية لمرحلة الرمي من خلال (مسافة رمي القرص خلال لحظة العصر - الزاوية ومسافة رمي القرص خلال لحظة العصر - مسافة الرمي خلال لحظة الرمي - الزاوية ومسافة الرمي خلال لحظة الرمي) واستخدمت الباحثة المنهج الوصفي بالأسلوب المحسّي باستخدام التصوير بالفيديو والتحليل، قامت الباحثة باختيار عينة البحث بالطريقة العدمية من (٣) لاعبين في مسابقة قذف القرص والمقيدين بالاتحاد المصري لأنّ العاب القوى خلال الموسم الرياضي ٢٠١٩/٢٠٢٠، ويقوم كل لاعب بأداء (٤) محاولات ليصبح إجمالي المحاولات عدد (١٢) محاولة وسوف تختار الباحثة أفضل (٣) محاولات لكل لاعب ليصبح عدد المحاولات (٩) محاولات، بالتصوير بالفيديو والتحليل الحركي الكيناتوجرافى باستخدام برنامج (برنامج تحليل حركي Sim-Motion v ٧,٥). وفي ضوء أهداف وواقع البيانات التي تجمعت لدى الباحثة للدلالة الإحصائية للمؤشرات البيوميكانيكية للاعبين قذف القرص أمكن التوصل إلى وجود دلالة إحصائية للمؤشرات البيوميكانيكية المساهمة في التتبؤ بمستوى أداء متسابقي قذف القرص بدلالة المؤشرات البيوميكانيكية للحظات (مسافة رمي القرص خلال لحظة العصر - الزاوية ومسافة رمي القرص خلال لحظة العصر - مسافة الرمي - الزاوية ومسافة الرمي خلال لحظة الرمي). وتم استخراج (٢٠) معادلة تنبؤية لمسافة الرمي لمسابقات قذف القرص لمجموعة من المتغيرات البيوميكانيكية الأكثر ارتباطاً تصلح كمؤشرات للتتبؤ بمستوى الإنجاز الرقمي لمسافة قذف القرص.

(\*) أستاذ مساعد بقسم التدريب وعلوم الحركة الرياضية ، كلية التربية الرياضية ، جامعة طنطا  
 (\*) مدرس بقسم مسابقات الميدان والمضمار ، كلية التربية الرياضية ، جامعة طنطا

## Research Summary

**Statistical Biomechanical Model of Discus Ejaculation Players****Eathar Sobhi Fathi Shama(\*)****Shaimaa Hassanein Abdel Moneim Hassanein(\*)**

The study aims to identify the biomechanical model to predict the best digital level of performance of discus ejection players based on the biomechanical variables of the throwing phase through (discus throw distance during the squeezing moment - angle and discus throw distance during the squeezing moment - throw distance during the throwing moment - angle and throw distance during the throwing moment) The researcher used the descriptive approach in the survey method using video photography and analysis, the researcher selected the research sample in the deliberate way from (٣) players in the discus throwing competition and enrolled in the Egyptian Athletics Federation during the sports season ٢٠٢٠/٢٠١٩, and each player performs (٤) attempts to bring the total number of attempts to (١٢) attempts and the researcher will choose the best (٣) attempts for each player to become the number of attempts (٩) attempts, by video imaging and kinetic analysis using a program (Sim-Motion V ٧,٥). In the light of the objectives and reality of the data collected by the researcher for the statistical significance of the biomechanical indicators of the discus ejection racers, it was possible to reach the existence of statistical significance of the biomechanical indicators contributing to the prediction of the level of performance of the discus ejection racers in terms of biomechanical indicators for moments (discus throw distance during the moment of squeezing - angle and discus throw distance during the moment of squeezing - throwing distance during the moment of throwing - angle and throw distance during the moment of throwing).(٢٠) Predictive equation for the distance of the throw distance of the discus ejection competition was extracted for a set of variables The most closely related biomechanics serve as indicators to predict the level of digital achievement of the disk ejection distance.